

VYSOKÁ ŠKOLA STROJNÍ A TEXTILNÍ V LIBERCI

NOSITELKA ŘÁDU PRÁCE

Fakulta strojní

Obor: 23 - 21 - 8

Strojní zařízení pro chemický, potravinářský a spotřební průmysl

Zaměření: textilní a oděvní stroje

Katedra textilních a oděvních strojů

Dynamika oboustranného náhonu přírazového mechanismu

Vedoucí práce: Doc. Ing. Jiří Mrázek, CSc

Počet stran:	30
Počet příloh:	21
Počet tabulek:	3
Počet obrázků:	4
Počet výkresů:	1
Počet modelů:	-

Vysoká škola strojí a textilní
Vysoká škola: a textilní v Liberci Fakulta:
Katedra: textilních a oděvních strojů Skolní rok: 1988/89

ZADÁNÍ DIPLOMOVÉ PRÁCE

(PROJEKTU, UMĚLECKÉHO DÍLA, UMĚLECKÉHO VÝKONU)

KAUZONAS ANDRIJUS

pro

obor 23-21-8 Stroje a zařízení pro chemický, potravinářský a
spotřební průmysl

Vedoucí katedry Vám ve smyslu nařízení vlády ČSSR č. 90/1980 Sb., o státních závěrečných zkouškách a státních rigorózních zkouškách, určuje tuto diplomovou práci:

Název tématu: Dynamika oboustranného náhonu přírazového
mechanismu

Zásady pro vypracování:

- 1) Prověřte dosavadní poznatky oboustranného náhonu přírazového mechanismu.
- 2) Sestavte matematický model.
- 3) Určete potřebné hmotové parametry výpočtem nebo experimentálně pomocí výkresové dokumentace resp vyrobených dílů.
- 4) Vyhodnoťte vlastnosti oboustranného náhonu.

V 102/89 S

VYSOKÁ ŠKOLA STROJNÍ A TEXTILNÍ
Ústřední knihovna
LIBEREC 1, STUDENTSKÁ 5
PSC 461 17

Shrnutí - mechanizace -
oproti -

TS/KTS

Sestavní výkres přírazového mechanismu.
Grafické průběhy kinematických veličin a
hnacích momentů na klice.

Rozsah grafických prací:

Rozsah průvodní zprávy: 15 - 20 stran formátu A4

Seznam odborné literatury:

- 1/ Mrázek, J. a kol.: Dynamické vlastnosti tkacích strojů.
Výzkumná zpráva, VŠST, Liberec 1987.
- 2/ Mrázek, J.: Příspěvek k dynamice přírazového mechanismu. Sborník
V. konference o teorii strojů a mechanismů, VŠST, Liberec 1988.

Vedoucí diplomové práce: Doc. Ing. Jiří Mrázek, CSc.

Datum zadání diplomové práce: 29. 9. 1988

Termín odevzdání diplomové práce: 2. 6. 1989

L.S.

Prof. Ing. Vl. Prášil, DrSc.

Vedoucí katedry

Prof. Ing. Vl. Prášil, DrSc.

Děkan

V Liberci dne 26. 9. 1988

Místopřiseženě prohlašuji, že jsem diplomovou práci
vypracoval samostatně s použitím uvedené literatury.

V Liberci, dne 2.6.1989

A handwritten signature in cursive script, appearing to read 'Kouřil', written in black ink.

Děkuji tímto vedoucímu diplomové práce
Doc. Ing. Jiřímu Mrázkovi, CSc za odborné vedení diploma-
vé práce a Ing. Liborovi Tůmovi za podnětné připomínky
a rady k diplomové práci.

Seznam použitých symbolů

<u>Symbol</u>	<u>Název</u>	<u>Jednotka</u>
φ	úhlová dráha	rad
$\dot{\varphi} = \omega$	úhlová rychlost	rad s ⁻¹
$\ddot{\varphi} = \varepsilon$	úhlové zrychlení	rad s ⁻²
c	konstanta tuhosti	Nm
k	konstanta tlumení	Nm s
I	hmotný moment setrvačnosti	kg m ²
M	moment	Nm
ϱ	úhel	rad
l	délka	m
x,y	souřadnice úložných bodů	m
V,Y,U,Z	modelovaná vůle	rad
Ω	frekvence	Hz
F	přírazná síla	N

SEZNÁM PŘÍLOH

- G.v.1-G.v.20 Průběhy kinematických veličin přírazového
mechanismu
- A001 Program pro výpočet a kreslení průběhu
kinematických veličin
- Výkres přírazového mechanismu

OBSAH

1. Úvod	8
2. Přírazové mechanismy tkacích strojů	9
3. Matematický model přírazového mechanismu tkacího stroje	10
4. Určení převodových funkcí	13
5. Působení osnovy	16
6. Zavedení vřlí	18
7. Průběh hnacího momentu M_2	19
8. Stanovení vstupních parametrů	20
8.1 Geometrické rozměry přírazového mechanismu	21
9. Popis sestaveného programu	22
10. Vyhodnocení	23
11. Závěr	25
12. Tabulky variant	26
Použitá literatura	

1. ÚVOD

V současné době dochází ke stále větší spotře textilí a spotřeba stále vzrůstá. Proto se výrobci tkacích stavů zaměřují na zvyšování výkonů.

Na moderní výkonný stroj jsou kladeny tyto požadavky:

- vysoký výrobní výkon
- nízká spotřeba energie na jednotku výkonu
- bezpečnost a spolehlivost chodu
- maximální využití materiálů
- co největší možný stupeň automatizace
- co největší možný stupeň unifikace jednotlivých částí

Se zvyšujícím se výkonem a spolehlivostí současných tkacích stavů se dostává do popředí otázka správné a přesné funkce jednotlivých mechanických uzlů na tkacím stroji.

Jedná se hlavně o mechanismy prošlupního, prohozního, odtahovacího, podavacího ústrojí, ale jedná se zde také o přírazový mechanismus tkacího stroje. Tyto mechanismy jsou v důsledku stále zvyšujících se otáček více zatěžovány dynamickými silami.

Tím vstává pro konstruktéry tkacích stavů další velký problém a to je kmítání částí strojů či celých strojů. Řešení těchto velice složitých problémů umožňuje výpočetní technika.

2. PŘÍRAZOVÉ MECHANISMY TKACÍCH STROJŮ

Prvořadou ulohu při tvorbě tkaniny je zatlačení utku do vytvořeného prošlupu určitou silou, která má dynamicky charakter. Zatlačení utku je realizováno přírazovým mechanismem tkacího stroje.

Mechanismus přírazu je nutno zařadit ze stránky energetické do hlavních mechanismů tkacího stroje.

V průběhu vývoje vzniklo několik typu přírazových mechanismů:

-kloubové mechanismy

čtyřčlenné, šestičlenné nebo i osmičlenné

Kloubové mechanismy mají velkou výhodu proti vačkovým mechanismům hlavně v jednodušší výrobě.

Nevýhodou kloubových mechanismů je obtížné zajištění klidové výdrže v provozu a také je to velký počet kloubů u mechanismů s více členy.

U reálných mechanismů se vlivem poddajnosti a zavedením vůlí mezi jednotlivými členy mechanismu projeví přídavná namáhání, která výrazně překračují teoretické hodnoty.

-vačkové mechanismy

jsou uskutečněny nejčastěji soustavou inverzních vaček

-speciální přírazové mechanismy

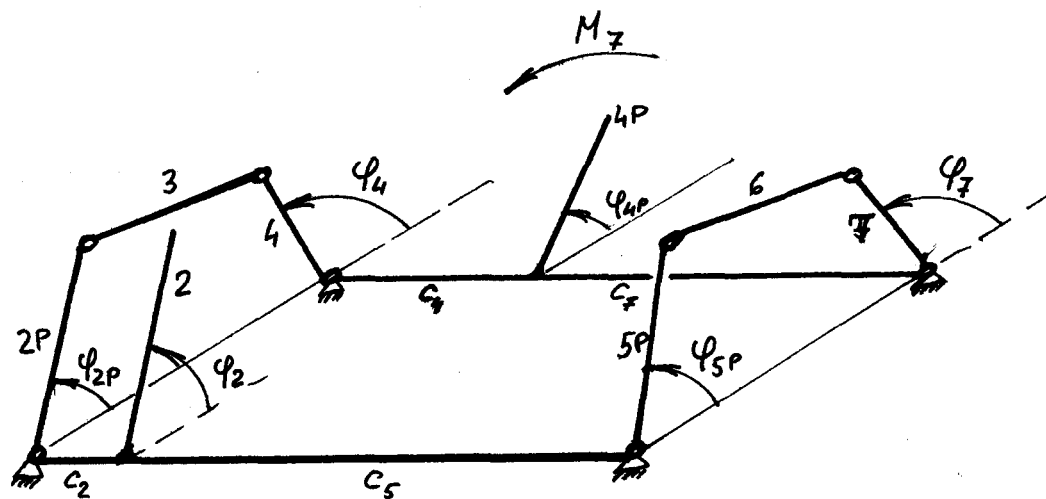
jsou sestaveny kombinací kinematických dvojic kloubových, valivých / vačky, ozubená kola / nebo smykových / kulisy / podle svého určení

3. MATEMATICKÝ MODEL PŘÍRAZOVÉHO MECHANISMU TKACÍHO STROJE

Na celkové dynamické chování tkacího stroje má základní vliv přírazový mechanismus. Vyznamným parametrem bude průběh kinematických veličin na paprsku v místě přírazu, což v podstatě přímo ovlivňuje kvalitu tkaniny.

Pro rozbor těchto vlastností je vhodné vytvořit matematický model celého přírazového mechanismu, jehož pomocí je možno prověřit optimální strukturu přírazového mechanismu, vliv rozběhu, případně nerovnoměrností klikového hřídele na provedení přírazu.

Základní podmínkou pro hodnocení musí být věrnost vytvořeného matematického modelu celého přírazového mechanismu při simulaci skutečných jevů a jednoduchost spolu s možností numerického řešení pomocí výpočetní techniky.



Schema modelu přírazového mechanismu

Matematický popis je proveden na základě následujících předpokladů:

- všechny členy mechanismu a úložné klouby jsou považovány za dokonale tuhé
- těhlice 3 a 6 jsou nahrazeny hmotnými body soustředěnými v jejich koncových bodech
- působení osnova je zavedeno prostřednictvím momentu

$$M_z = f(\varphi_{4P}) \quad / 3.1/$$

- poddajnost náhonu i bydlenu je nahrazena torsními tuhostmi c_2, c_4, c_5, c_7 mezi rameny 2-2P, 4-4P, 2-5P, 7-4P
- vstupní veličinou je libovolný pohybový zákon nehmotného členu 2
- mezi členy 2-2P, 4-4P, 2-5P, 7-4P jsou vloženy tlumicí členy a viskosním tlumením
- do modelu byly zavedeny vůle v náhonu i v jednotlivých kinematických dvojicích
- není uvažována vlastní váha členů

Model je matematicky popsán pomocí Lagrangeovy rovnice druhého druhu

$$\frac{d}{dt} \left(\frac{\partial K}{\partial \dot{q}} \right) - \frac{\partial K}{\partial q} = - \frac{\partial U}{\partial q} - \frac{\partial R}{\partial \dot{q}} \quad /3.2/$$

K-kinetická energie soustavy

U-potenciální energie soustavy

R-disipativní funkce

q-obecná souřadnice

$$K = \frac{1}{2} I_{2P} \dot{\varphi}_{2P}^2 + \frac{1}{2} I_4 \dot{\varphi}_4^2 + \frac{1}{2} I_{4P} \dot{\varphi}_{4P}^2 + \frac{1}{2} I_{5P} \dot{\varphi}_{5P}^2 + \frac{1}{2} I_7 \dot{\varphi}_7^2$$

$$R = \frac{1}{2} k_2 (\dot{\varphi}_{2P} - \dot{\varphi}_2)^2 + \frac{1}{2} k_4 (\dot{\varphi}_{4P} - \dot{\varphi}_4)^2 + \frac{1}{2} k_5 (\dot{\varphi}_{5P} - \dot{\varphi}_2)^2 + \frac{1}{2} k_7 (\dot{\varphi}_{4P} - \dot{\varphi}_7)^2$$

$$U = \frac{1}{2} c_2 (\varphi_{2P} - \varphi_2)^2 + \frac{1}{2} c_4 (\varphi_{4P} - \varphi_4)^2 + \frac{1}{2} c_5 (\varphi_{5P} - \varphi_2)^2 + \frac{1}{2} c_7 (\varphi_{4P} - \varphi_7)^2 + \int M_7 d\varphi_7 \quad /3.3/$$

Řešením získáme tři rovnice:

$$\ddot{\varphi}_{2P} (I_{2P} + I_4 \gamma_{24}^2) = - I_4 \gamma_{24} \ddot{\varphi}_4 - c_2 (\varphi_{2P} - \varphi_2) + c_4 (\varphi_{4P} - \varphi_4) \gamma_{24} - k_2 (\dot{\varphi}_{2P} - \dot{\varphi}_2) + k_4 \gamma_{24} (\dot{\varphi}_{4P} - \dot{\varphi}_4)$$

$$\ddot{\varphi}_{5P} (I_{5P} - I_7 \gamma_{57}^2) = - I_7 \gamma_{57} \ddot{\varphi}_7 - c_5 (\varphi_{5P} - \varphi_2) + c_7 (\varphi_{4P} - \varphi_7) \gamma_{57} - k_5 (\dot{\varphi}_{5P} - \dot{\varphi}_2) + k_7 \gamma_{57} (\dot{\varphi}_{4P} - \dot{\varphi}_7) \quad /3.4/$$

$$\ddot{\varphi}_{4P} \bar{I}_{4P} = -c_4 (\varphi_{4P} - \varphi_4) - c_7 (\varphi_{4P} - \varphi_7) + M_7 - k_4 (\dot{\varphi}_{4P} - \dot{\varphi}_4) - k_7 (\dot{\varphi}_{4P} - \dot{\varphi}_7)$$

Převodové funkce:

$$\varphi_4 = f_{24} (\varphi_{2P})$$

$$\dot{\varphi}_4 = \gamma_{1,24} (\dot{\varphi}_{2P})$$

/3.5/

$$\ddot{\varphi}_4 = \gamma_{2,24} \dot{\varphi}_{2P}^2 + \gamma_{1,24} \ddot{\varphi}_{2P}$$

$$\varphi_7 = f_{57} (\varphi_{5P})$$

$$\dot{\varphi}_7 = \gamma_{1,57} (\dot{\varphi}_{5P})$$

$$\ddot{\varphi}_7 = \gamma_{2,57} \dot{\varphi}_{5P}^2 + \gamma_{1,57} \ddot{\varphi}_{5P}$$

$$\varphi_2, \varphi_{2P}, \varphi_4, \varphi_{4P}, \varphi_{5P}, \varphi_7$$

-úhly určující polohu jednotlivých vahadel

$$\dot{\varphi}_2, \dot{\varphi}_{2P}, \dot{\varphi}_4, \dot{\varphi}_{4P}, \dot{\varphi}_{5P}, \dot{\varphi}_7$$

-úhlové rychlosti jednotlivých vahadel

$$I_{2P}, I_4, I_{4P}, I_{5P}, I_7$$

-hmotné momenty setrvačnosti jednotlivých členů soustavy

$$c_2, c_4, c_5, c_7$$

-torzní tuhosti tyčí mezi členy 2-2P, 4-4P, 2-5P, 7-4P

$$k_2, k_4, k_5, k_7$$

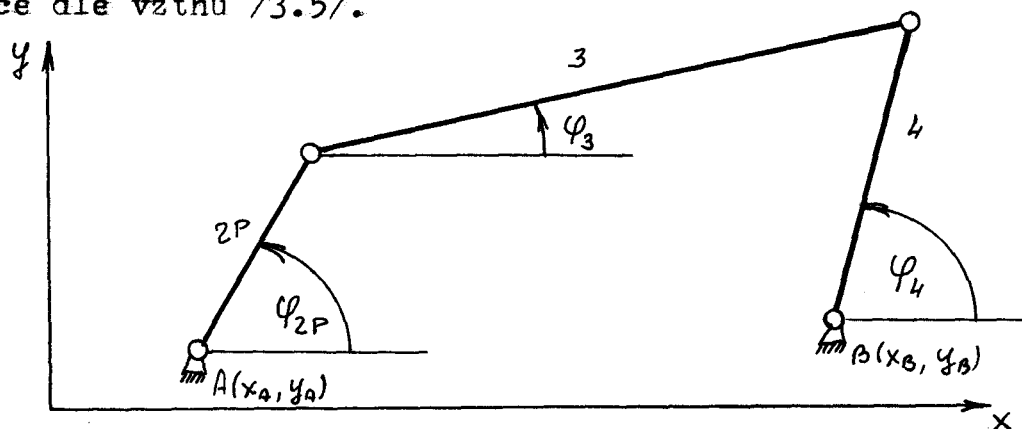
-koeficienty viskosního tlumení soustavy

$$M_7$$

-moment působící na člen 4P vlivem osnovy

4. URČENÍ PŘEVODOVÝCH FUNKCÍ

Do pohybových rovnic /3.4/ je nutné určit převodové funkce dle vztahů /3.5/.



Kinematické schéma čtyřkloubového mechanismu

Jedná se o převodové funkce čtyřkloubového mechanismu dle kinematického schématu, což ve skutečnosti odpovídá čtyřčlennému mechanismu.

Dle schématu lze psát:

$$\begin{aligned} l_3 \cos \varphi_3 - l_4 \cos \varphi_4 &= x_B - x_A - l_{2P} \cos \varphi_{2P} & /4.1/ \\ l_3 \sin \varphi_3 - l_4 \sin \varphi_4 &= y_B - y_A - l_{2P} \sin \varphi_{2P} \end{aligned}$$

Pro úhel φ_4 platí:

$$\sin \varphi_4 = \frac{G_1 D_y \pm D_x \sqrt{D^2 - G_1^2}}{D^2} \quad /4.2/$$

$$\cos \varphi_4 = \frac{G_1 D_x \pm D_y \sqrt{D^2 - G_1^2}}{D^2}$$

$$D_x = -(x_B - x_A - l_{2P} \cos \varphi_{2P})$$

$$D_y = -(y_B - y_A - l_{2P} \sin \varphi_{2P})$$

$$D^2 = D_x^2 + D_y^2$$

$$G_1 = \frac{l_4^2 + D^2 - l_3^2}{2 l_4} \quad /4.3/$$

Pro úhel φ_3 platí:

$$\sin \varphi_3 = \frac{G_2 D_y \pm D_x \sqrt{D^2 - G_2^2}}{D^2} \quad /4.4/$$

$$\cos \varphi_3 = \frac{G_2 D_x \pm D_y \sqrt{D^2 - G_2^2}}{D^2}$$

$$G_2 = \frac{l_4^2 - l_3^2 - D^2}{2l_3} \quad /4.5/$$

Hodnotu funkce f_{24} lze určit ze vztahů /4.2/a /4.4/.
Úhlové rychlosti členů 3 a 4 získáme časovou derivací
rovnice /4.1/.

$$-l_3 \dot{\varphi}_3 \sin \varphi_3 + l_4 \dot{\varphi}_4 \sin \varphi_4 = v_x \quad /4.6/$$

$$l_3 \dot{\varphi}_3 \cos \varphi_3 - l_4 \dot{\varphi}_4 \cos \varphi_4 = -v_y$$

$$v_x = l_{2P} \dot{\varphi}_{2P} \sin \varphi_{2P}$$

$$v_y = l_{2P} \dot{\varphi}_{2P} \cos \varphi_{2P} \quad /4.7/$$

Dále řešením rovnic /4.6/ dostaneme:

$$\dot{\varphi}_3 = \frac{1}{G_V} (v_x l_4 \cos \varphi_4 + v_y l_4 \sin \varphi_4) \quad /4.8/$$

$$\dot{\varphi}_4 = \frac{1}{G_V} (v_y l_3 \sin \varphi_3 + v_x l_3 \cos \varphi_3)$$

$$G_V = l_3 l_4 (\sin \varphi_3 \cos \varphi_4 - \sin \varphi_4 \cos \varphi_3) \quad /4.9/$$

První převodovou funkci f_{24}^M určíme přímo ze vztahů /4.8/
pro $\dot{\varphi}_{2P} = 1$.

Další časovou derivací rovnic /4.6/ a za předpokladu, že
 $\varphi_{2P} = \text{konst.}$ dostaneme vztahy pro úhlová zrychlení členů
3 a 4.

$$\ddot{\varphi}_3 = \frac{1}{G_V} (A_x l_4 \cos \varphi_4 + A_y l_4 \sin \varphi_4) \quad /4.10/$$

$$\ddot{\varphi}_4 = \frac{1}{G_V} (A_y l_3 \sin \varphi_3 + A_x l_3 \cos \varphi_3)$$

$$A_x = l_{2P} \dot{\varphi}_{2P}^2 \cos \varphi_{2P} - l_3 \dot{\varphi}_3^2 \cos \varphi_3 + l_4 \dot{\varphi}_4^2 \cos \varphi_4 \quad /4.11/$$

$$A_y = l_{2P} \dot{\varphi}_{2P}^2 \sin \varphi_{2P} - l_3 \dot{\varphi}_3^2 \sin \varphi_3 - l_4 \dot{\varphi}_4^2 \sin \varphi_4$$

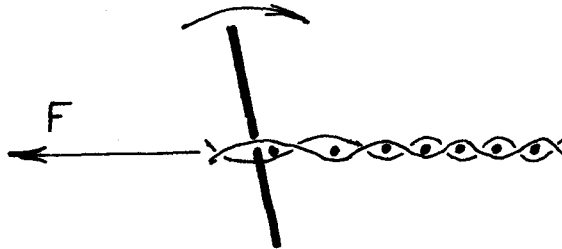
Druhou převodovou funkci $\ddot{\varphi}_{24}$ určíme z rovnic /4.10/ pro $\varphi_{2P} = 1$.

- l_{2P}, l_3, l_4 - délky jednotlivých členů mechanismu
- x_A, x_B, y_A, y_B - souřadnice kloubů A, B na rámu
- $\varphi_{2P}, \varphi_3, \varphi_4$ - úhly, které svírají jednotlivé členy s kladným směrem osy x

Vztahy pro převodové funkce jsou stejné pro levou a pravou stranu náhonu. Konečné vyjádření převodových funkcí jsou dlouhé proto zde je neuvádím.

5. PŮSOBENÍ OSNOVY

Paprsek při svém pohybu do přední polohy narazí na poslední zanesený útek a posouvá jej ve směru osnovy. Pří-
razná síla F musí překonat odpor osnovních nití, které
se musí rozevřít před vnikajícím útkem a dále odpor tře-
ním útku při jeho posunu v osnově viz obr.5a



Obr.5a

Proto bylo zavedeno působení osnovy prostřednictvím mo-
mentu M_7 . Moment M_7 je funkcí úhlu φ_{4P} .
V programu je ale použito zjednodušení a to takové, že
moment M_7 je funkcí úhlu φ_{2P} , tj. úhlu natočení kliky, kte-
rý začne platit tehdy, je-li splněna podmínka /5.2/

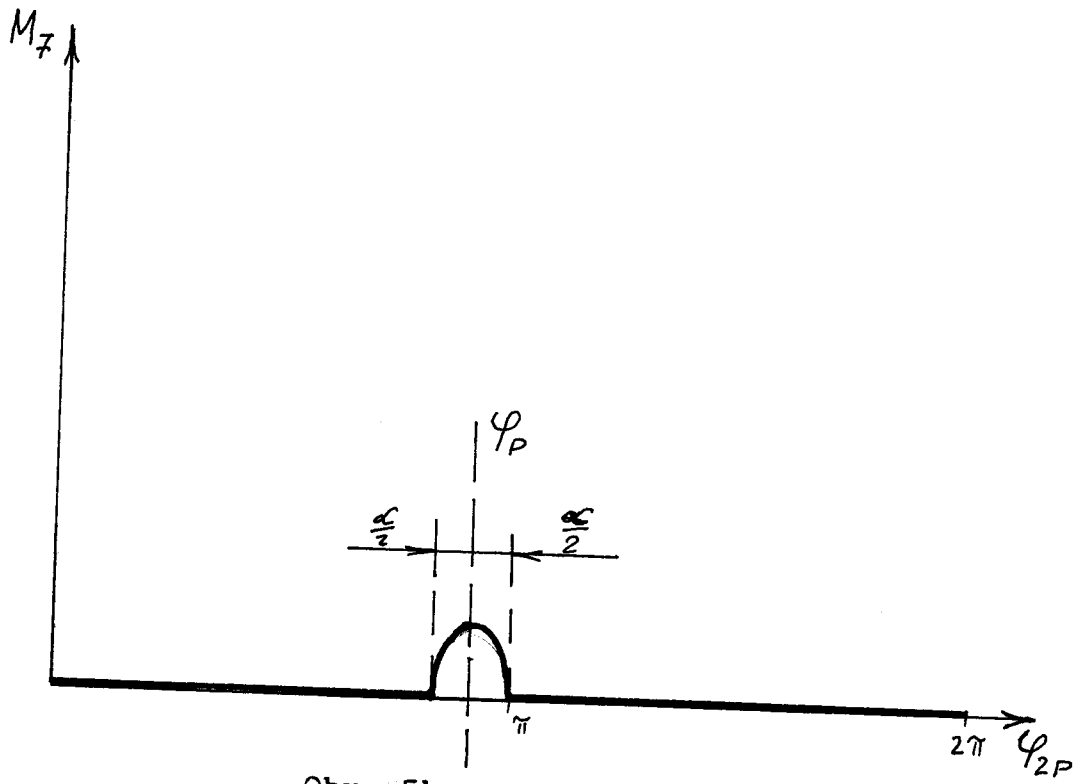
$$M_7 = M_0 \sin \left[\pi \left(\varphi_{2P} - \varphi_P + \frac{\alpha}{2} \right) / \alpha \right] / 5.1/$$

$$\varphi_P - \frac{\alpha}{2} \leq \varphi_{2P} \leq \varphi_P + \frac{\alpha}{2} \quad /5.2/$$

Působící moment M_7 začíná narůstat určitou dobu před
přírazem a působí ještě po přírazu viz obr.5b

α -úhel působení momentu M_7 , zvolen úhel 10°

φ_P -úhel natočení 2P odpovíd. úhlu přírazu



Obr. 5b

6. ZAVEDENÍ VŮLÍ

Na přírazový mechanismus byly zavedeny vůle jak v náhonu, tak i na dalších členech mechanismu.

Vůle náhonu mechanismu:

-vztah v rovnicích 3.4 / $|\varphi_{2P} - \varphi_2|$ je nahrazen takovým vztahem, aby byla splněna jedna z následujících podmínek:

$$|\varphi_{2P} - \varphi_2| < V$$

$$\varphi_{2P} - \varphi_2 < -V$$

$$\varphi_{2P} - \varphi_2 > V$$

$$\varphi_{2P} - \varphi_2 = 0 \quad /6.1/$$

$$\varphi_{2P} - \varphi_2 = \varphi_{2P} - \varphi_2 + V$$

$$\varphi_{2P} - \varphi_2 = \varphi_{2P} - \varphi_2 - V$$

Vůle na členu 4:

-vztah v rovnicích 3.4 / $|\varphi_{4P} - \varphi_4|$ je též nahrazen takovým vztahem, aby byla splněna jedna z následujících podmínek:

$$|\varphi_{4P} - \varphi_4| < Y$$

$$\varphi_{4P} - \varphi_4 < -Y$$

$$\varphi_{4P} - \varphi_4 > Y$$

$$\varphi_{4P} - \varphi_4 = 0 \quad /6.2/$$

$$\varphi_{4P} - \varphi_4 = \varphi_{4P} - \varphi_4 + Y$$

$$\varphi_{4P} - \varphi_4 = \varphi_{4P} - \varphi_4 - Y$$

Obdobným způsobem jsou zavedeny vůle na členech 5P a 7.

7. PRUBĚH HNACÍHO MOMENTU M_2

Rovnoměrnost chodu tkacího stroje narušují mechanismy s vratným pohybem, kam také patří mechanismus přírazu. Na vstupu je sledován hnací moment M_2 , jež je dán vztahem:

$$M_2 = c_2 (\varphi_{2p} - \varphi_2) + c_5 (\varphi_{5p} - \varphi_2) \quad /7.1/$$

Při zavedených vůlích je nutné, aby tento moment také zahrnul tyto vůle:

$$M_2 = c_2 \cdot AK1 + c_5 \cdot AK3 \quad /7.2/$$

kde AK1 a AK3 jsou získány z podmínek pro zavedené vůle:

$$|\varphi_{2p} - \varphi_2| < V$$

$$\varphi_{2p} - \varphi_2 < -V$$

$$\varphi_{2p} - \varphi_2 > V$$

$$AK1 = 0 \quad /7.3/$$

$$AK1 = \varphi_{2p} - \varphi_2 + V$$

$$AK1 = \varphi_{2p} - \varphi_2 - V$$

$$|\varphi_{5p} - \varphi_2| < U$$

$$\varphi_{5p} - \varphi_2 < -U$$

$$\varphi_{5p} - \varphi_2 > U$$

$$AK3 = 0 \quad /7.4/$$

$$AK3 = \varphi_{5p} - \varphi_2 + U$$

$$AK3 = \varphi_{5p} - \varphi_2 - U$$

8. STANOVENÍ VSTUPNÍCH PARAMETRŮ

Pro vlastní numerické řešení bylo nutné spočítat nebo určit vstupní parametry:

- zvolení základního souřadného systému os / x,y/
Základní souřadný systém byl zvolen tak, že počátek základního souřadného systému je totožný s osou rotace hlavního hřídele.
- určení hmotných momentů setrvačnosti jednotlivých členů mechanismu
Hmotné momenty setrvačnosti jsou určeny s dostatečnou přesností analytickými metodami.
- umístění hmot vzhledem k ose rotace

Torzní tuhosti c můžeme určit dle vztahu:

$$C = \frac{M}{\varphi} \quad /8.1/$$

c_2 - tuhosti členu 2 byly určeny přibližně se zřetelem na náhon.

Hodnoty tlumení jsou určeny z logaritmického dekrementu na základě experimentálně určených hodnot.

$$\ddot{\varphi} + 2N\dot{\varphi} + \Omega^2\varphi = 0$$

$$2N = \frac{k}{I}$$

$$\Omega^2 = \frac{c}{I}$$

$$T = \frac{2\pi}{\Omega}$$

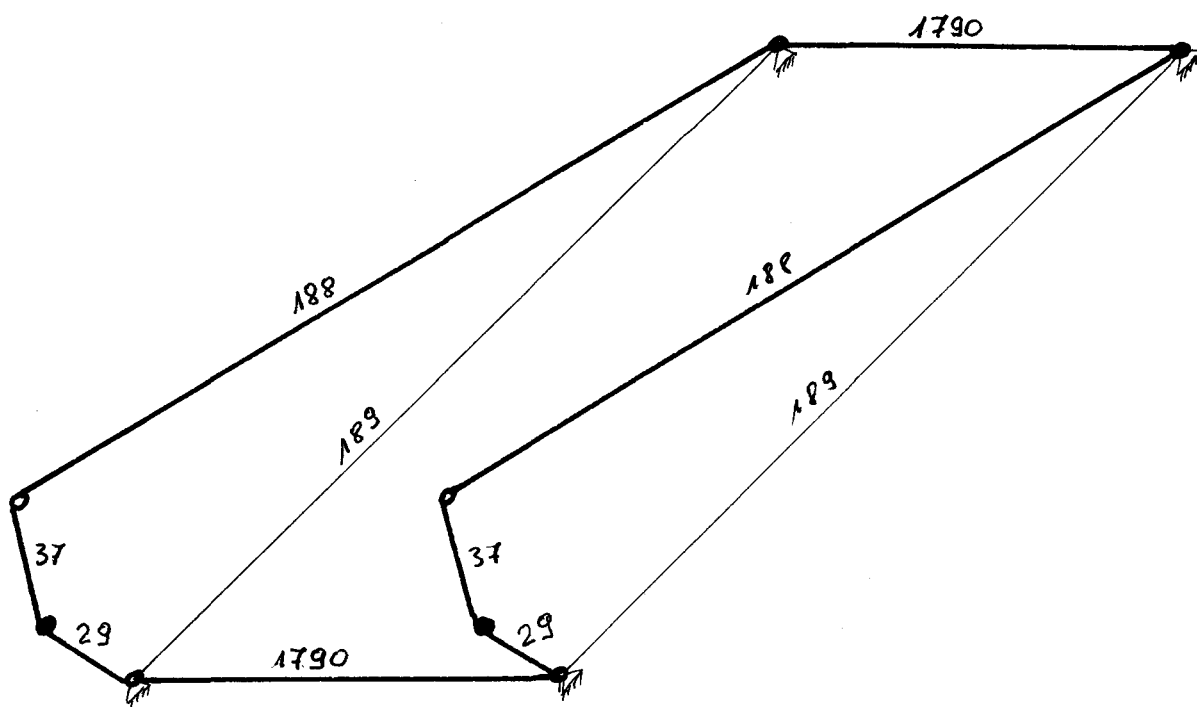
/8.2/

pak určíme koeficient tlumení:

$$k = \frac{I}{\pi} \sqrt{\frac{c}{I}} \ln 2$$

/8.3/

8.1 Geometrické rozměry přírazového mechanismu



9. POPIS SESTAVENÉHO PROGRAMU

Matematicky model přírazového mechanismu je programově zpracován na počítači EC 1033 v jazyce FORTRAN IV.

Program bylo nutno sestavit tak, aby co nejlépe sledoval průběh daných kinematických veličin.

Program je složen z hlavního programu a 3 podprogramů:

1/ hlavní program:

- zajišťuje načítání dat, výpočet vlastních kinematických veličin pomocí čtyřbodové Runge-Kuttovy metody pro řešení dif. rovnic druhého řádu a připravuje výstupní soubor dat pro řízení digigrafu. Program je spuštěn v okamžiku nulového zrychlení, to jest tehdy kdy rychlost je maximální. Měřítka teoretických a skutečných průběhů kin. veličin jsou schodné.

2/ první podprogram:

- uskutečňuje výpočet převodových funkcí

3/ druhý podprogram:

- zde jsou uloženy dif. rovnice

4/ třetí podprogram:

- zajišťuje tisk výsledných hodnot ve formě grafu. Po úpravě programu pro výstup na digigraf, se nepoužívá.

Výpis programu je uložen pod pracovním názvem A001 v příloze.

Všechny vstupní hodnoty, jež byly do programů zadávány, byly zadávány jako data a označovány symbolem w/i/ s proměnným indexem i.

Význam těchto symbolů se snadno zjistí z tabulek variant výpočtů.

10. VYHODNOCENÍ

Vypočtené varianty jsou uvedeny v tabulce č.1, kde jsou uvedeny maximální a minimální hodnoty sledovaných kinematických veličin a hnacího momentu M_2 .

Ve variantě č.1 vstoupí data programu odpovídají reálnému přírazovému mechanismu, proto tuto variantu budeme považovat za základní z hlediska porovnání průběhů kinematických veličin s dalšími variantami.

Ve variacích č.2-9 jsou různé vůle a přírazné momenty M_0 . Z průběhů sledovaných veličin je patrné, že zvětšování přírazného momentu M_0 , nemá podstatný vliv na kmitání členu 2P. Při zvětšení vůlí /0,001 a 0,01 rad/ se několikanásobně zvětšuje frekvence kmitání u sledovaných kinematických veličin, zvláště u členů 2P a 4P. Současné zvětšování vůlí a momentu M_0 značně deformuje průběh hnacího momentu M_2 .

Ve variantách č.10-13 byly provedeny změny tuhosti c_2, c_4, c_5 a c_7 . Při větších tuhostech se zvyšuje frekvence kmitání, ale je za to rychlejší zatlumená. Průběh momentu M_2 se zvětšením tuhosti se více deformuje a zvětšuje.

Ve variantách č.14 a 15 je změněn hmotový moment setrvačnosti I_{4P} . Při menší hodnotě momentu setrvačnosti je patrná menší deformace průběhů sledovaných veličin.

Ve variantách č.16 a 17 byl zkoušen vliv nepřesnosti při montáži, byla změněna délka členů 4 a 5P. Velikost kmitání kinematických veličin se výrazně nezměnilo, ale je patrná deformace průběhu kmitání ve srovnání s variantou č.1. K výraznému zvětšení maximální hodnoty momentu M_2 došlo na počátku, obdobné jako i minimální hodnoty členu 5P, ve variantě č.17, kde je kratší člen 5P.

Ve variantách č.18-20 byly zvětšovány otáčky mechanismu, což mělo za následek výrazného zvětšení kmitání celého mechanismu.

Pro srovnání bylo vzato několik variant kmitání přírazového mechanismu s jednostranným náhonem, hodnoty jsou uvedeny v tabulce č.2. V tabulce č.3 jsou uvedeny hodnoty kinematických veličin mechanismu s oboustranným náhonem se srovnatelnými parametry.

Z tabulek je patrné že při stejných vstupních hodnotách kmítání kinematických veličin u mechanismu s oboustranným náhonem má vyšší hodnoty, což znamená vyšší frekvenci kmítání a menší amplitudu výchylek. To už je pro stroj méně nebezpečné.

11. ZÁVĚR

V předešlých pracích, které se zabývaly čtyřčlenným a šestičlenným mechanismy bylo obecně objasněno chování čtyřčlenného a šestičlenného mechanismu v závislosti na jednotlivých parametrech.

Cílem mé diplomové práce bylo to, aby parametry mechanismu byly co nejvíc přiblíženy parametrům skutečného přírazového mechanismu a byly navrhnuté obecné podklady pro optimalizaci skutečného přírazového mechanismu.

Proto v přípravné etapě byl proveden výpočet nebo experimentální určení potřebných hmotových parametrů z výkresové dokumentace a vyrobených dílů. Pro zlepšení přehlednosti byl program upraven na grafický výstup /digigraf/.

Na chování přírazového mechanismu má velký vliv příraz, kde dochází k velkému rázu. Vlivem vůlí dochází k značnému zvýšení kmitání všech členů mechanismu, taky průběh hnacího momentu M_2 je výrazně deformován, jedná se zde hlavně o velké rázy při změně znaménka zrychlení.

Vysoké tuhosti a nižší hodnoty hmotných momentů setrvačnosti posouvají přídavné chvění k vyšším frekvencím. Tím se také sníží amplitudy výchylek, což má za následek rychlejší ztlumení kmitů, které pak nejsou tak nebezpečné pro chod mechanismu. Proto pro zlepšení chodu mechanismu, při daných vůlích a přírazovém momentu M_0 , by se mělo zvýšit tuhost a zmenšit hmotné momenty setrvačnosti jednotlivých členů.

Program se stál dobrým pomocníkem při dalším sledování chování přírazového mechanismu. Tím tato práce dává základ pro optimalizaci přírazového mechanismu s oboustranným náhonem.

TABULKA 8.1

	Jednotky	1.	2.	3.	4.	5.	6.
W1-C2	Nm	100 000					
W2-C5	Nm	17 000					
W3-C4	Nm	50 000					
W4-C7	Nm	50 000					
W5-k2	kg m ² s	20					
W6-k5	kg m ² s	9					
W7-k4	kg m ² s	3					
W8-k7	kg m ² s	9					
W9-l2P	m	0,029					
W10-ω	rad s ⁻¹	60					
W11-XA	m	0,189					
W12-l3	m	0,037					
W13-l4	m	0,188					
W14-l5P	m	0,029					
W15-M0	Nm	500	0	500	2500	0	500
W16-XC	m	0,189					
W17-l5	m	0,037					
W18-l7	m	0,188					
W19-l2P	kg m ²	0,0025					
W20-l4	kg m ²	0,009					
W21-l4P	kg m ²	0,005					
W22-l5P	kg m ²	0,007					
W23-l7	kg m ²	0,009					
W24-V	rad	0,001	0	0	0	0,01	0,01
W25-Y	rad	0,001	0	0	0	0,01	0,01
W26-U	rad	0,001	0	0	0	0,01	0,01
W27-Z	rad	0,001	0	0	0	0,01	0,01
W28-α	rad	0,1746					
E2Pmax	rad s ²	2800	600	600	600	23800	30000
E2Pmin	rad s ²	-6000	-1200	-1200	-1200	-14000	-15000
E4Tmax	rad s ²	1050	1050	1050	1050	1050	1050
E4Tmin	rad s ²	-850	-850	-850	-850	-850	-850
E4Pmax	rad s ²	2050	1200	2100	6600	2900	2900
E4Pmin	rad s ²	-1100	-900	-900	-4600	-1900	-1900
E5Pmax	rad s ²	1900	150	300	1400	2700	9250
E5Pmin	rad s ²	-1250	-300	-350	-2200	-5600	-5550
M2Vmax	Nm	87,5	65	60	107,5	127,5	107,5
M2Vmin	Nm	-62,5	-60	-60	-177,5	-120	-167,5

	15.	16.	17.	18.	19.	20.		
1								
2								
3								
4								
5								
6								
7								
8								
9								
10				90	120	150		
11								
12			0,035					
13		0,186						
14								
15								
16								
17								
18								
19								
20								
21	0,35							
22								
23								
24								
25								
26								
27								
28								
	9200	9800	11800	11800	22200			
	-7800	-8800	-7600	-15000	-25000			
	1050	1050	1050	2350	4150			
	-850	-850	-850	-1850	-3300			
	1900	1800	2400	35500	7750			
	-1200	-850	-1000	-2150	-4750			
	2050	3000	2600	2100	4200			
	-1500	-2600	-6750	-1650	-3800			
	107,5	82,5	160	187,5	345			
	-77,5	-82,5	-62,5	-152,5	-325			

pokračování tab. č.1

	Jednotka ky	Variability						
		1	2	3	4	5	6	7
I _{2P}	kg m ²	0,005						
I ₄	kg m ²	0,025						
I _{4P}	kg m ²	0,35			0,45		0,35	
C ₂	Nm	105					5·10 ⁴	105
C ₄	Nm	5·10 ⁴					10 ⁴	5·10 ⁴
k ₂	kg m ² s	7			7		5	7
k ₄	kg m ² s	29			33		13	29
C ₀	5·1	100						40
ϕ _i	rad	0	0,01	0,001				
M ₀	Nm	0	0	500	500	0	0	500
Σ _{4T} min	rad s ⁻²	-2319	-2319	-2319	-2319	-2319	-2319	-371
Σ _{4T} max	rad s ⁻²	2915	2915	2915	2915	2915	2915	666
Σ _{2P} min	rad s ⁻²	-1666	-32388	-11837	-1306	-1358	-8501	-3563
Σ _{2P} max	rad s ⁻²	538	54960	13954	15412	15398	14945	5696
Σ _{4P} min	rad s ⁻²	-2756	-2848	-2734	-2767	-2814	-5277	-598
Σ _{4P} max	rad s ⁻²	5686	6975	7039	6472	6033	4443	1760
M _{2V} min	Nm	-194	-426	-182	-266	-271	-279	-52
M _{2V} max	Nm	193	272	196	232	232	101	60

Tabulka č.2

	Jednotka ky	Variability						
		1	2	3	4	5	6	7
I _{2P}	kg m ²	0,005						
I ₄	kg m ²	0,025						
I _{4P}	kg m ²	0,35			0,45			
C ₂	Nm	105					0,45	0,35
C ₄	Nm	5·10 ⁴						5·10 ³
C _{4-C7}	Nm	5·10 ⁴						10 ⁴
k ₂	kg m ² s	7			7			5
k ₄	kg m ² s	29			33			13
k ₅	kg m ² s	2,2			2,2			1,6
k ₇	kg m ² s	29			33			13
ϕ _i	rad	0	0,01	0,001				
C ₀	Nm	100						40
M ₀	Nm	0	0	500	500	0	0	500
Σ _{4T} min	rad s ⁻²	-2319	-2319	-2319	-2319	-2319	-2319	-371
Σ _{4T} max	rad s ⁻²	2915	2915	2915	2915	2915	2915	666
Σ _{2P} min	rad s ⁻²	-1292	-2165	-10738	-1016	-1074	-8236	-2607
Σ _{2P} max	rad s ⁻²	923	24780	10481	10415	9674	7306	4786
Σ _{4P} min	rad s ⁻²	-2689	-4664	-3287	-3175	-3803	-4017	-534
Σ _{4P} max	rad s ⁻²	4434	6822	5393	5266	5257	4626	1928
Σ _{2P} min	rad s ⁻²	-2415	-11493	-3012	-2849	-2848	-4764	-1203
Σ _{2P} max	rad s ⁻²	1885	8034	3410	3355	3375	3229	2500
M _{2V} min	Nm	-201	-274	-289	-281	-280	-296	-62
M _{2V} max	Nm	250	273	327	319	319	167	43

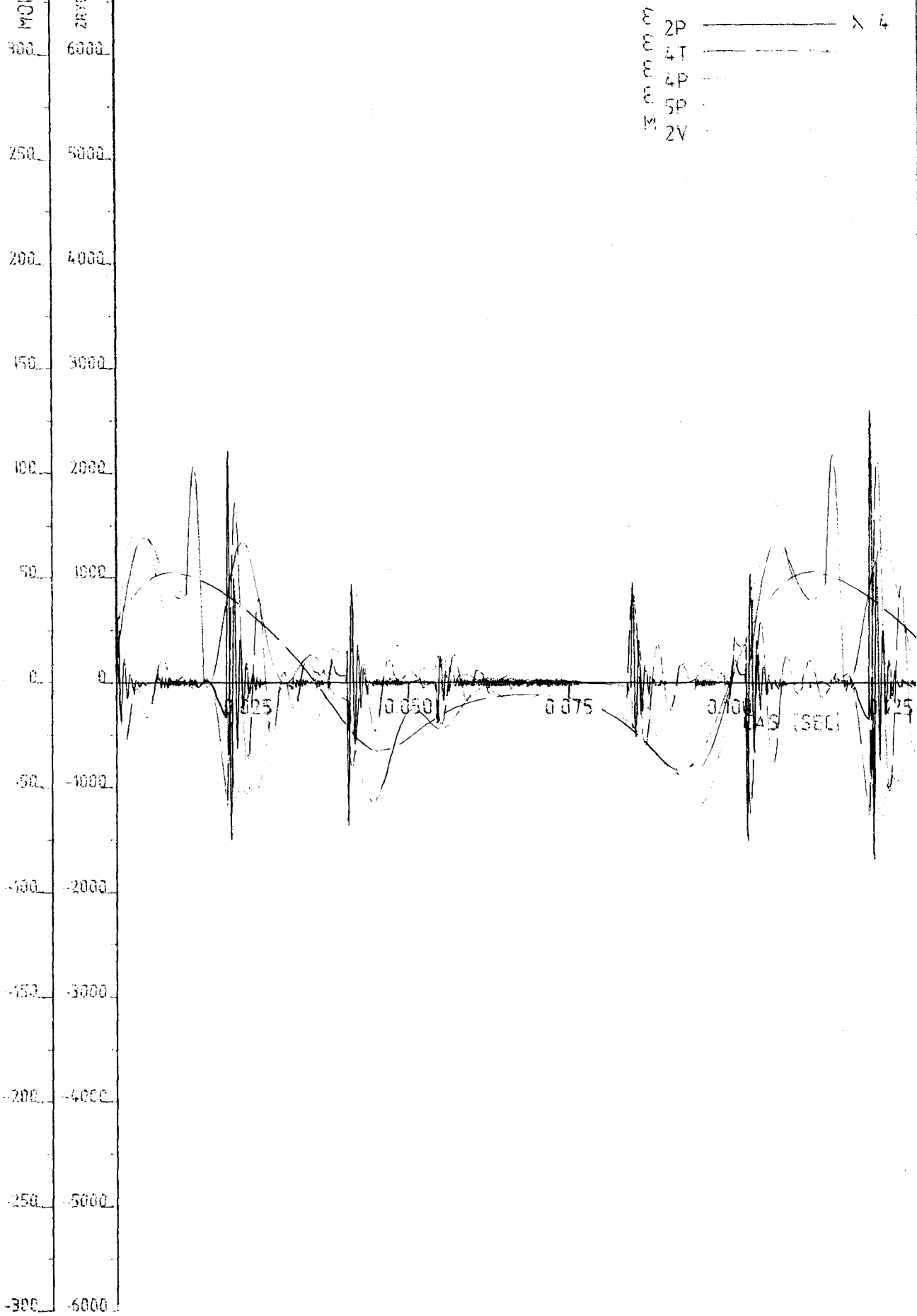
Tabulka č.3

POUŽITÁ LITERATURA

- /1/ Ing. Bradský - Ing. Vrzala: Mechanika III /Dynamika/
Skripta VŠST Liberec, 1980
- /2/ Doc. Ing. Charvát, Csc: Mechanika II /Dynamika/
Skripta VŠST Liberec, 1978
- /3/ Prof. RNDr. Stříž, Csc a kol.: Pružnost a pevnost
Skripta VŠST Liberec, 1983
- /4/ Doc. Ing. Mrázek, J. a kol.: Dynamické vlastnosti tka-
cích strojů. Výzkumná správa, VŠST,
Liberec, 1987
- /5/ Doc. Ing. Mrázek, Csc : Příspěvek k dynamice přírazového
mechanismu. Sborník V. konference o teorii strojů a
mechanismů, VŠST, Liberec 1988.

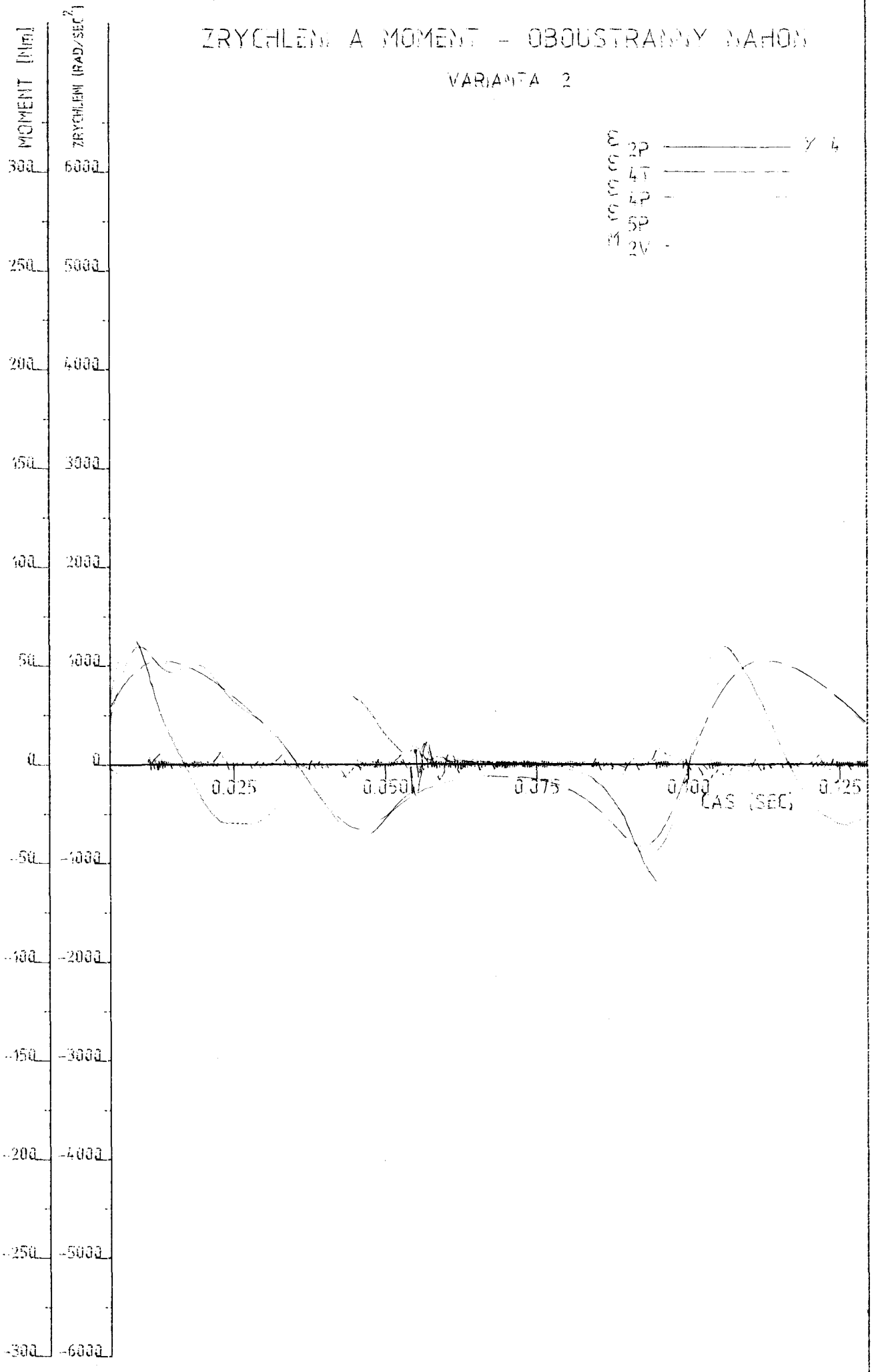
ZRYCHLENÍ A MOMENT - OBOUSTRANNÝ NÁHON

VARIANTA 1



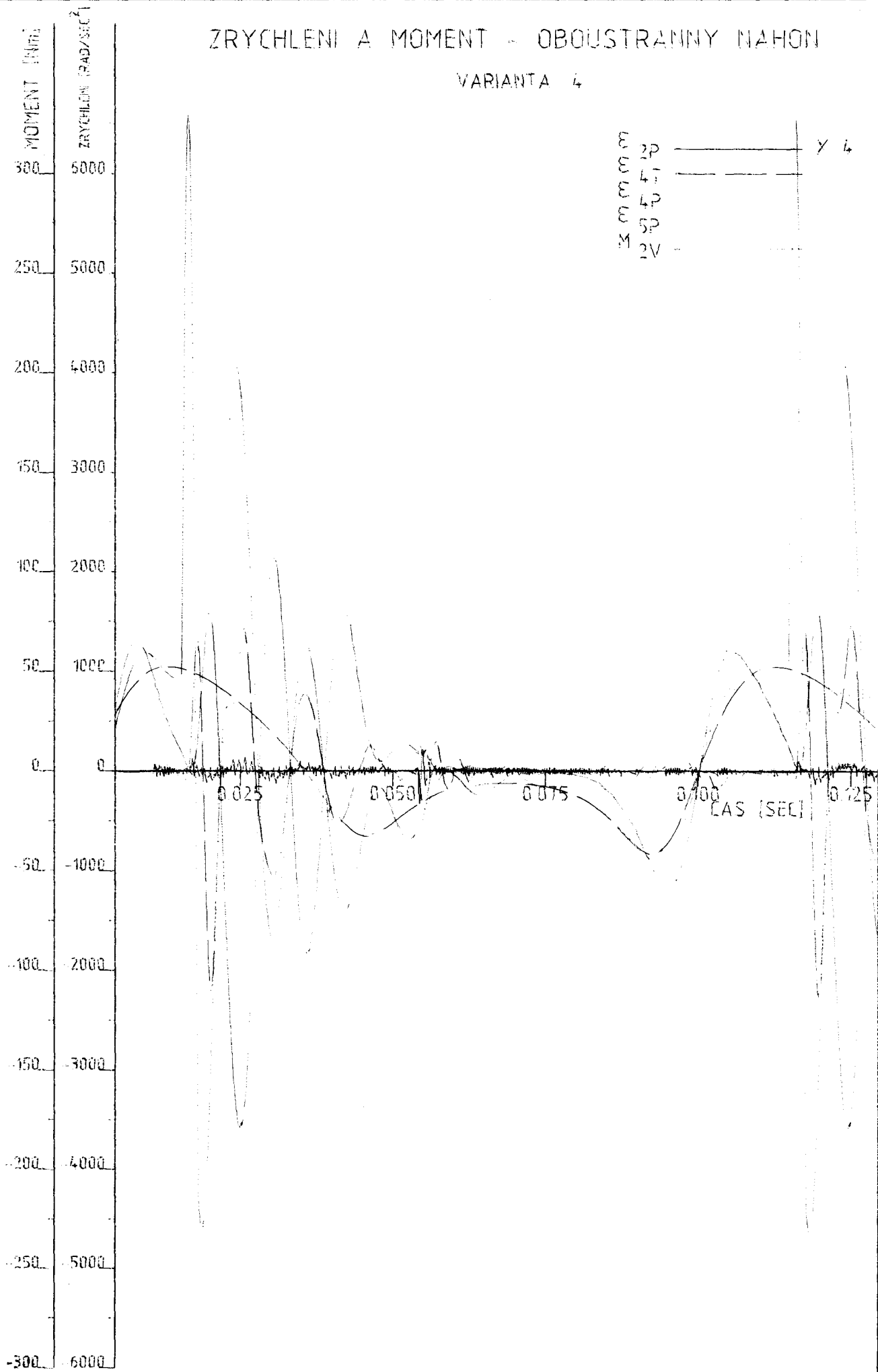
ZRYCHLENÍ A MOMENT - OBOUSTRANNÝ NAHON

VARIANTA 2



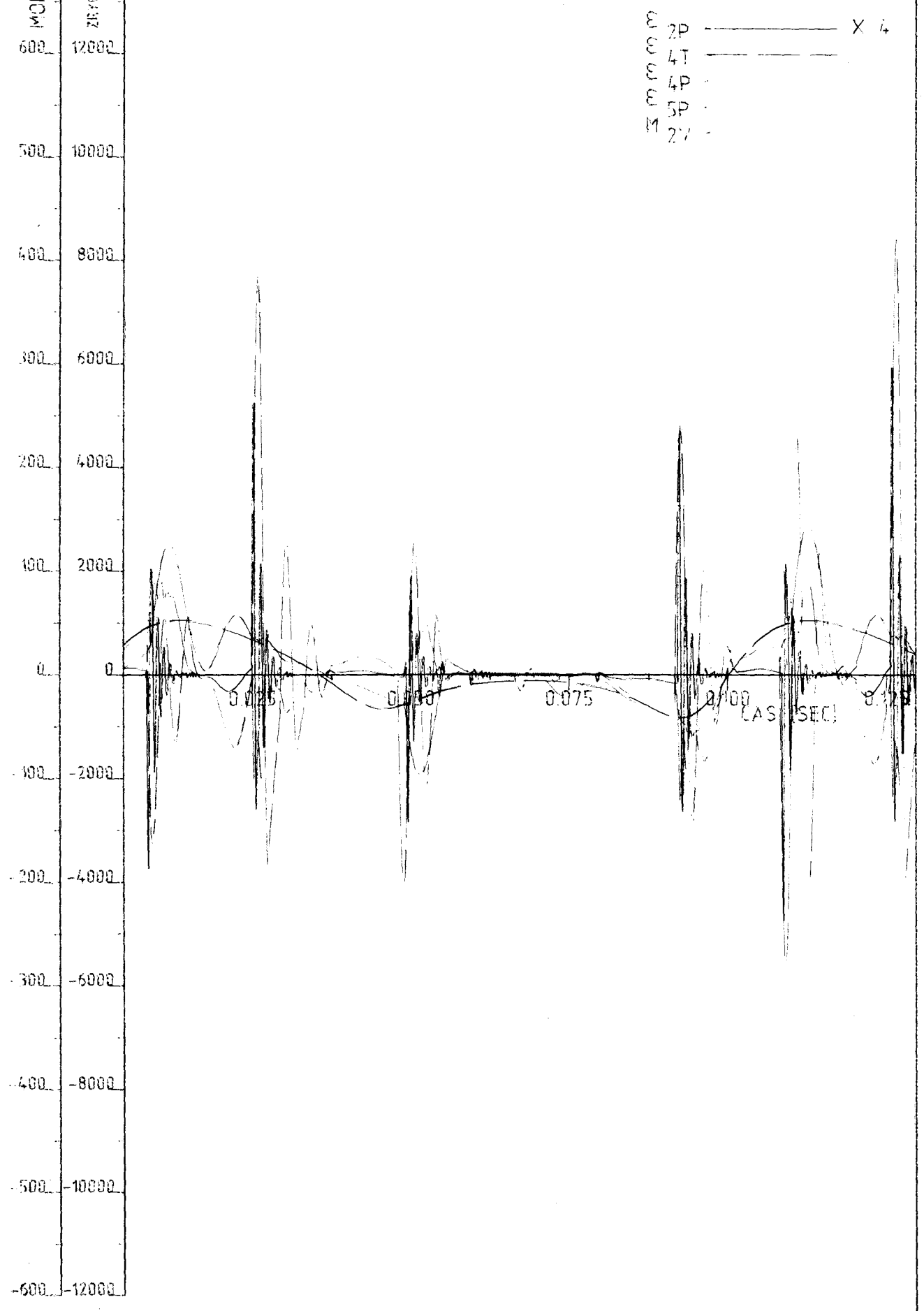
ZRYCHLENÍ A MOMENT - OBOUSTRANNÝ NÁHON

VARIANTA 4



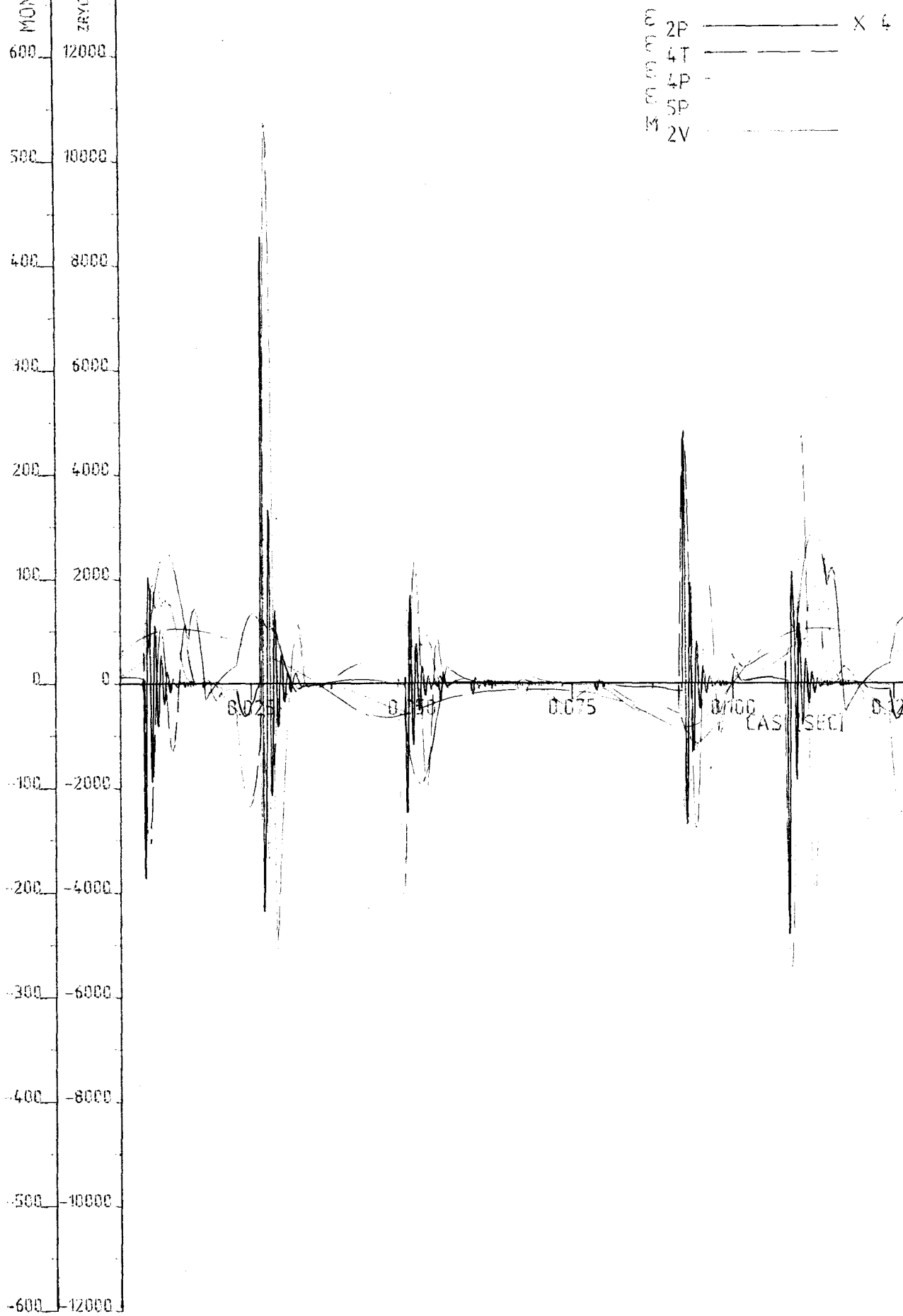
ZRYCHLENI A MOMENT - OBOUSTRANNY NAHON

VARIANTA 5



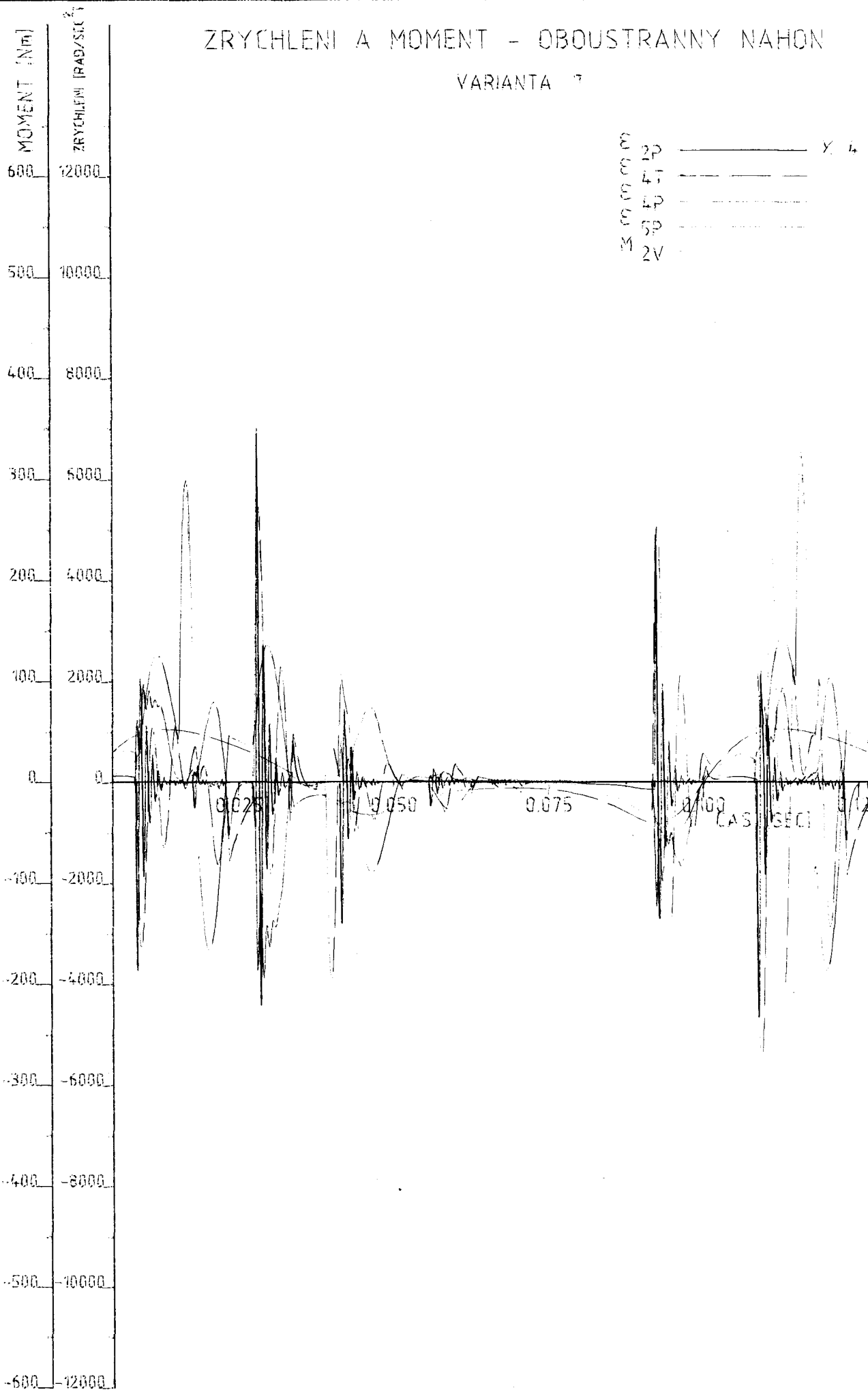
ZRYCHLENÍ A MOMENT - OBOUSTRANNÝ NAHON

VARIANTA 6



ZRYCHLENÍ A MOMENT - OBOUSTRANNÝ NAHON

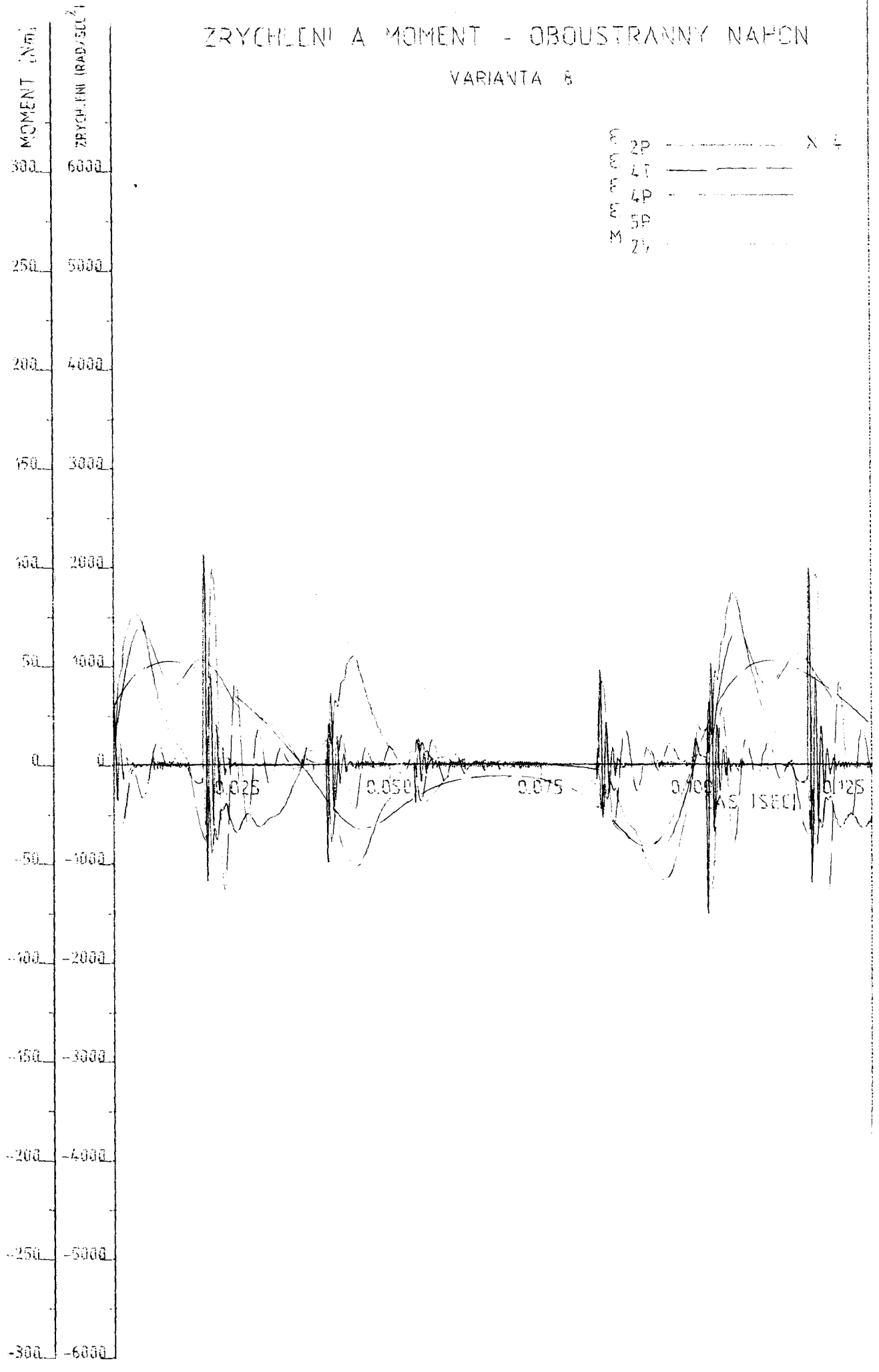
VARIANTA 7



ZRYCHLENÍ A MOMENT - OBOUSTRANNÝ NÁHON

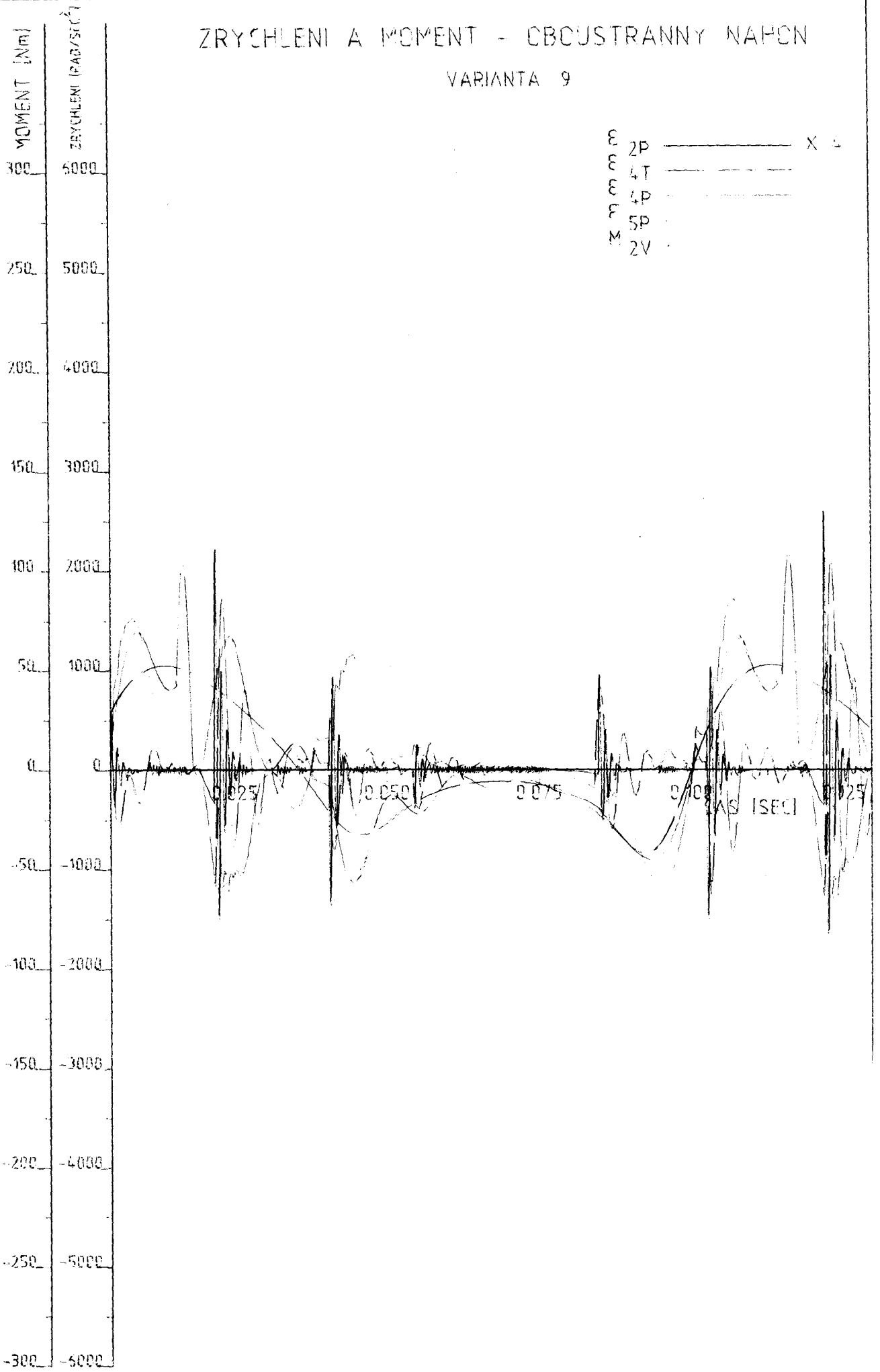
VARIANTA 8

E 2P ----- X 4
E 4T -----
E 4P -----
E 5P -----
M 2P -----



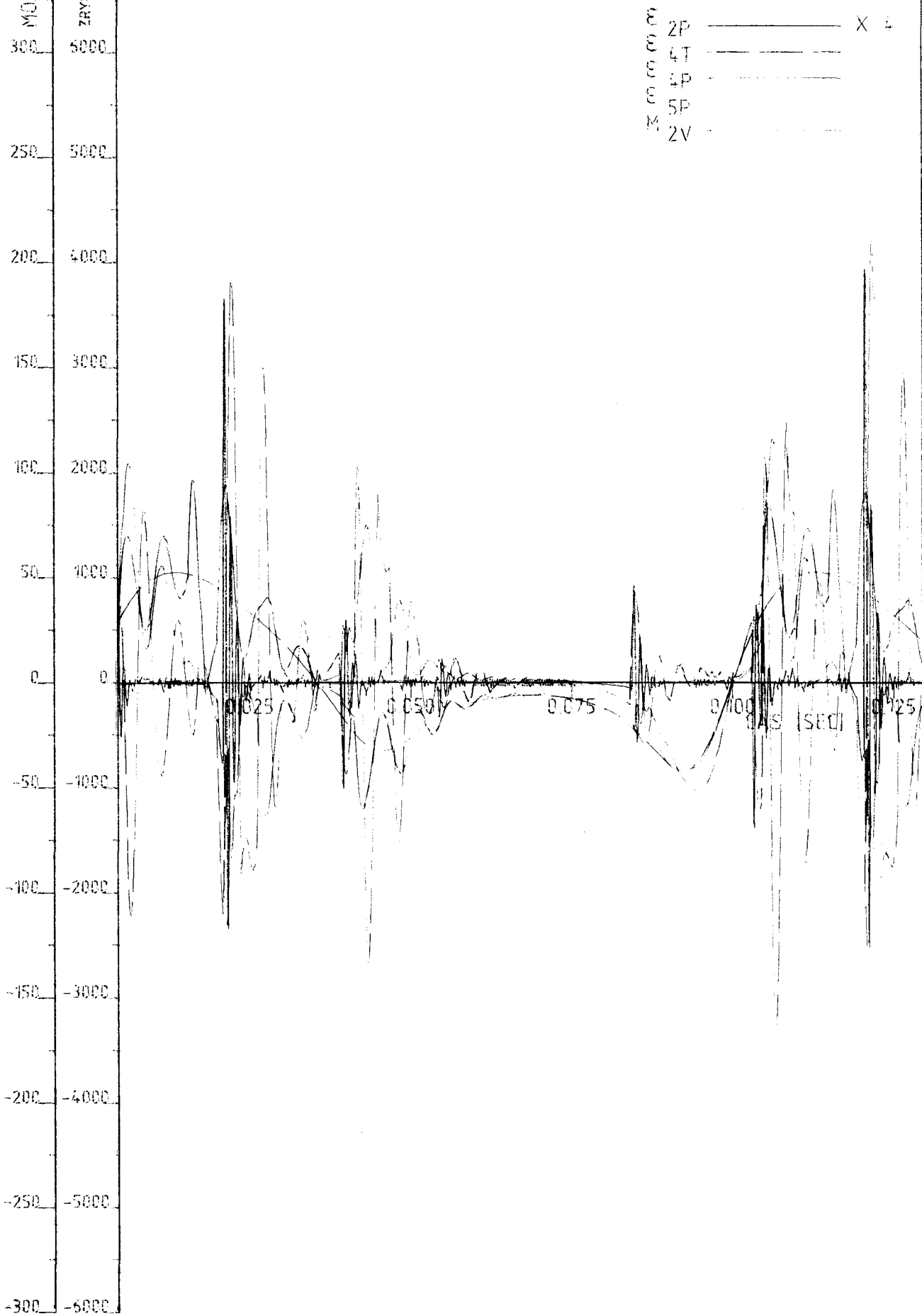
ZRYCHLENÍ A MOMENT - OBOUSTRANNÝ NÁHON

VARIANTA 9



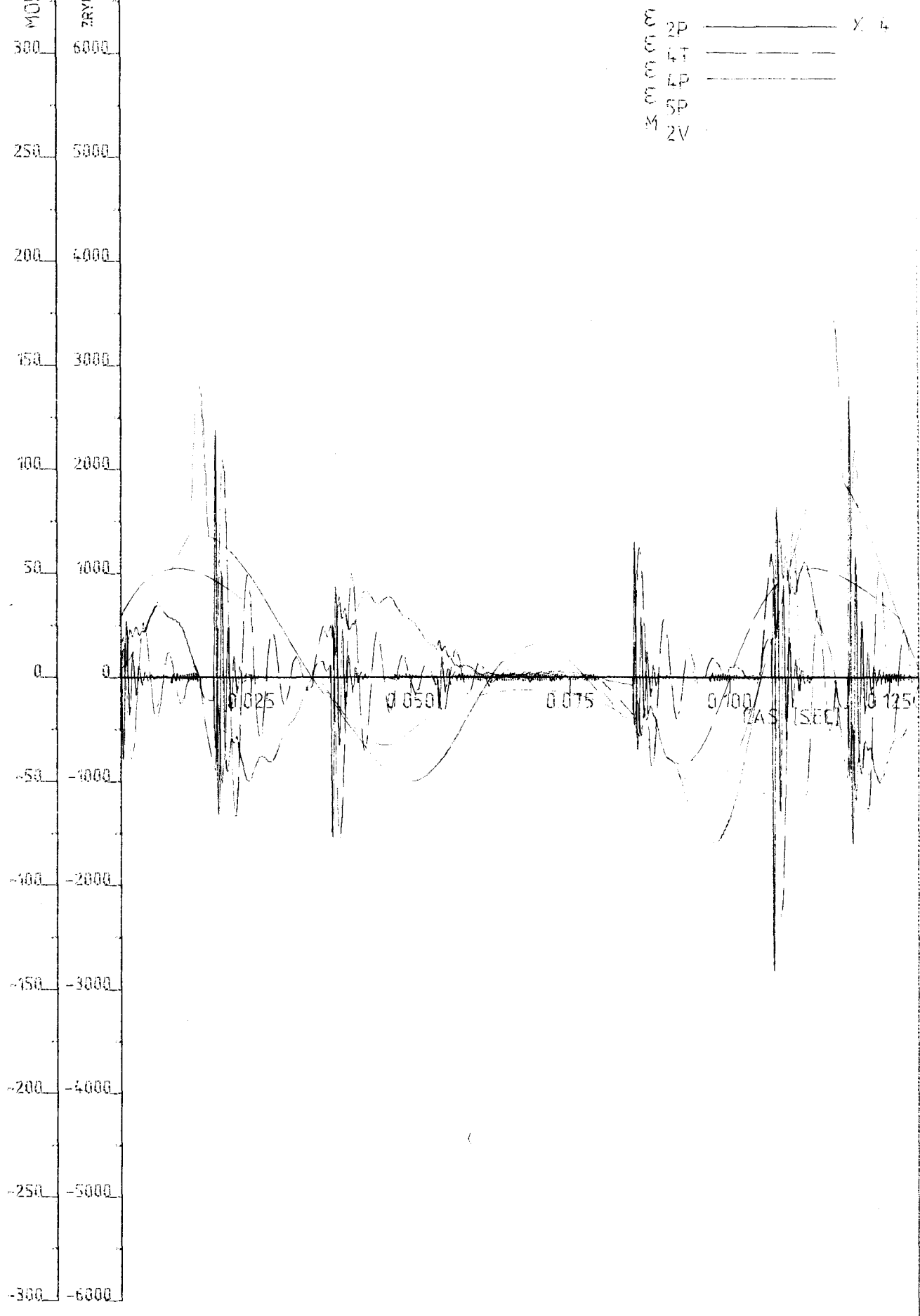
ZRYCHLENÍ A MOMENT - OBOUSTRANNÝ NÁHON

VARIANTA 10



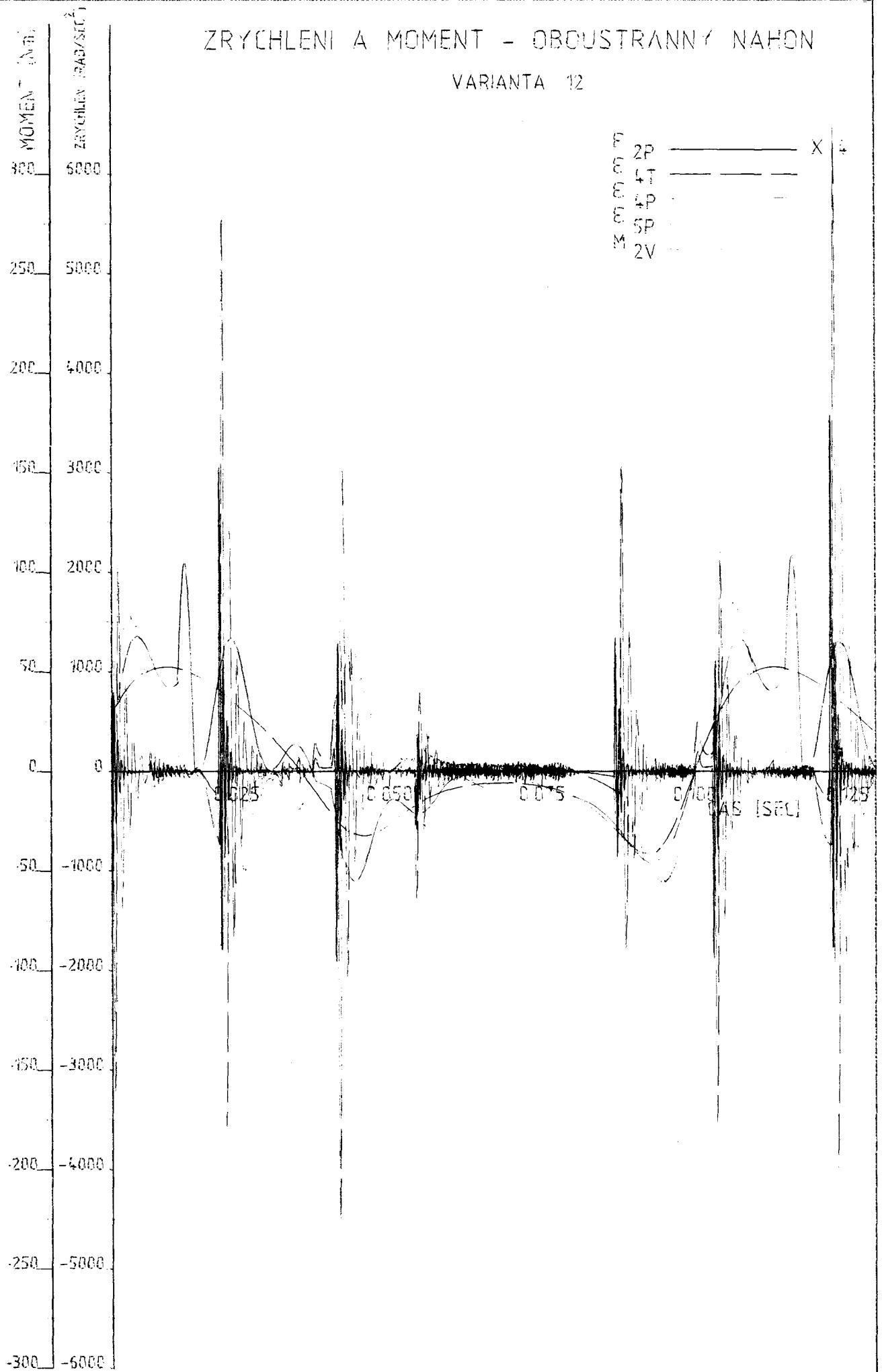
ZRYCHLENÍ A MOMENT - OBOUSTRANNÝ NAHON

VARIANTA 11



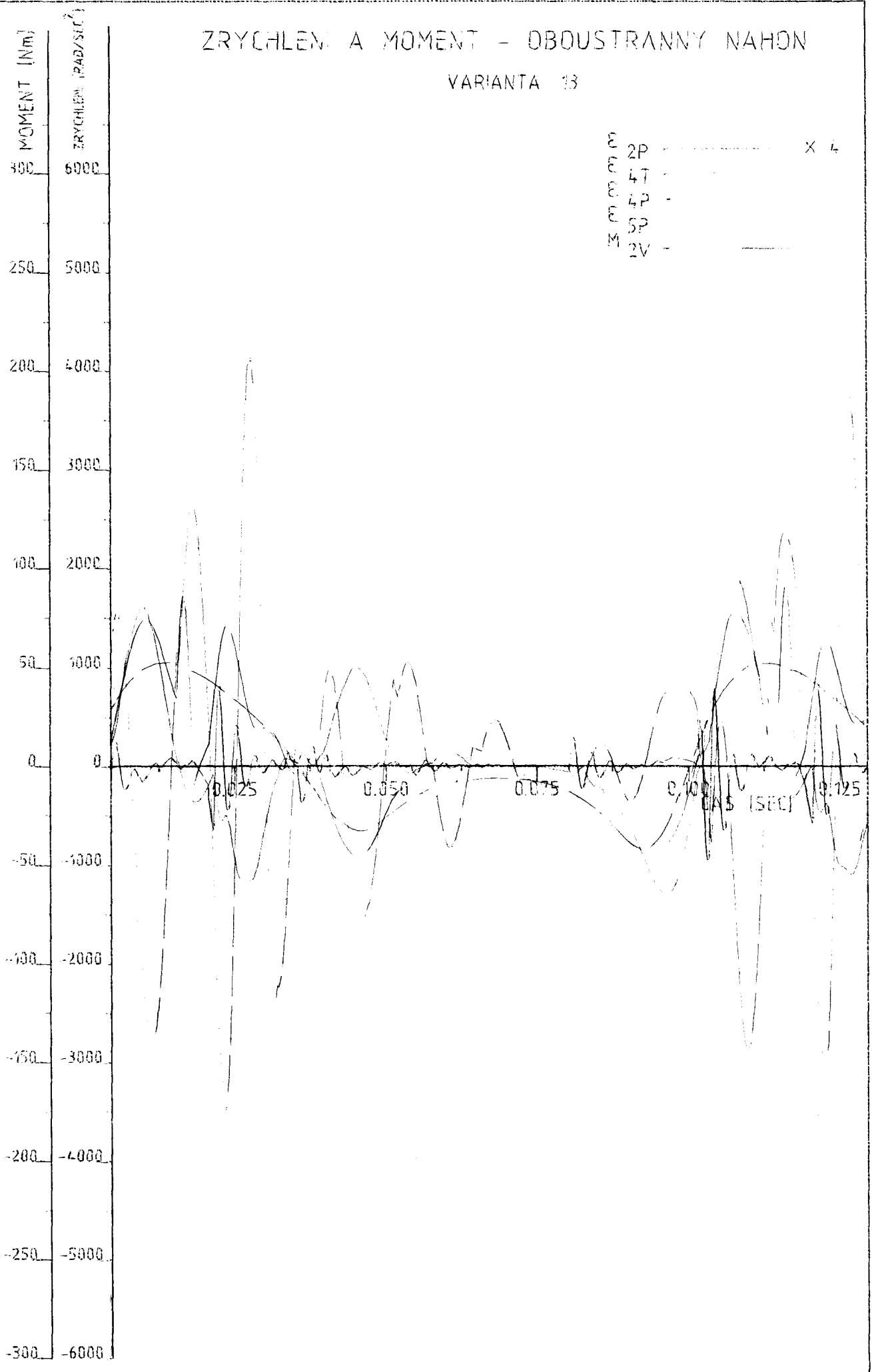
ZRYCHLENÍ A MOMENT - OBOUSTRANNÝ NAHON

VARIANTA 12



ZRYCHLEN A MOMENT - OBOUSTRANNY NAHON

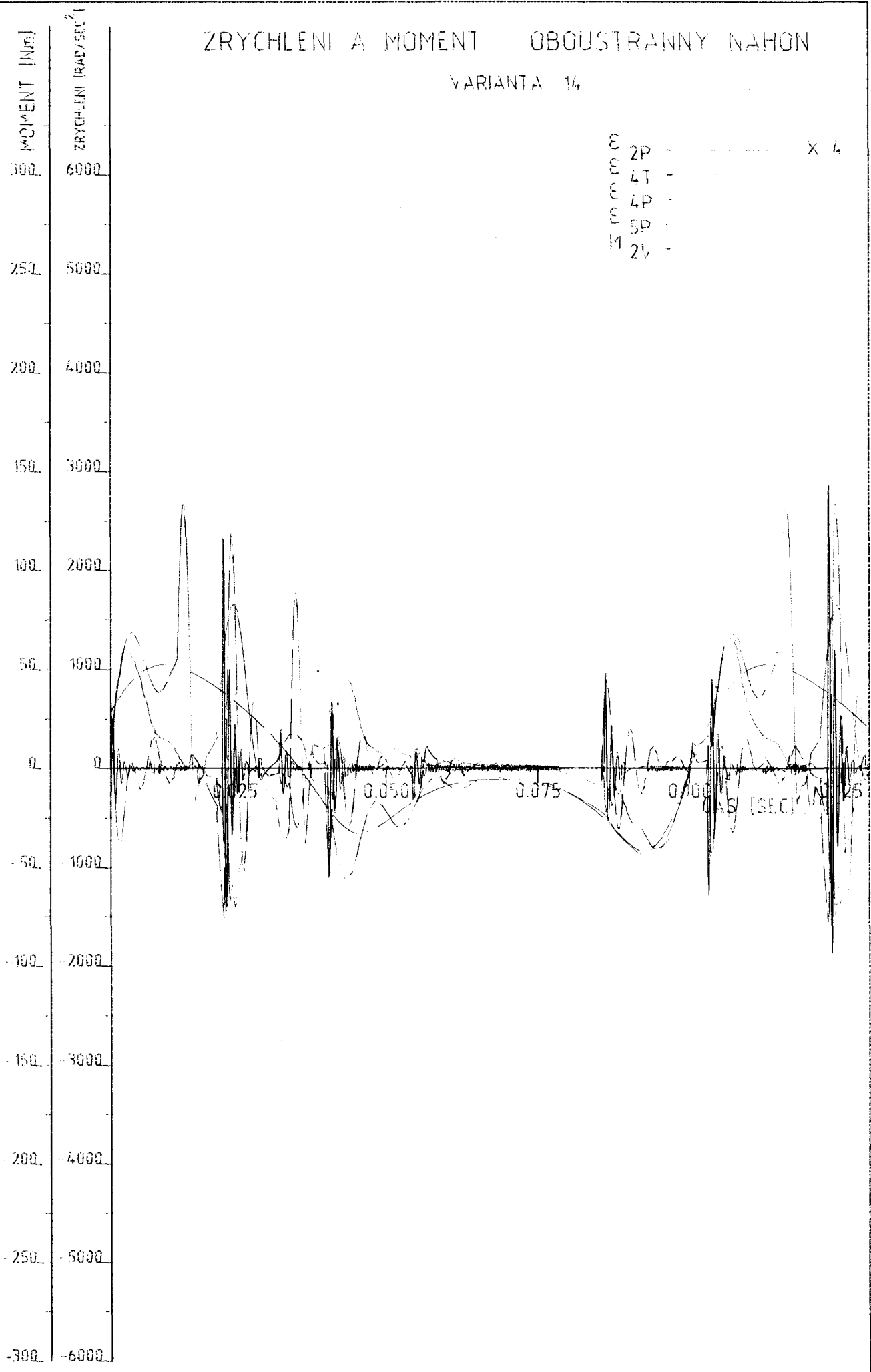
VARIANTA 13



ZRYCHLENÍ A MOMENT OBOUSTRANNY NAHON

VARIANTA 14

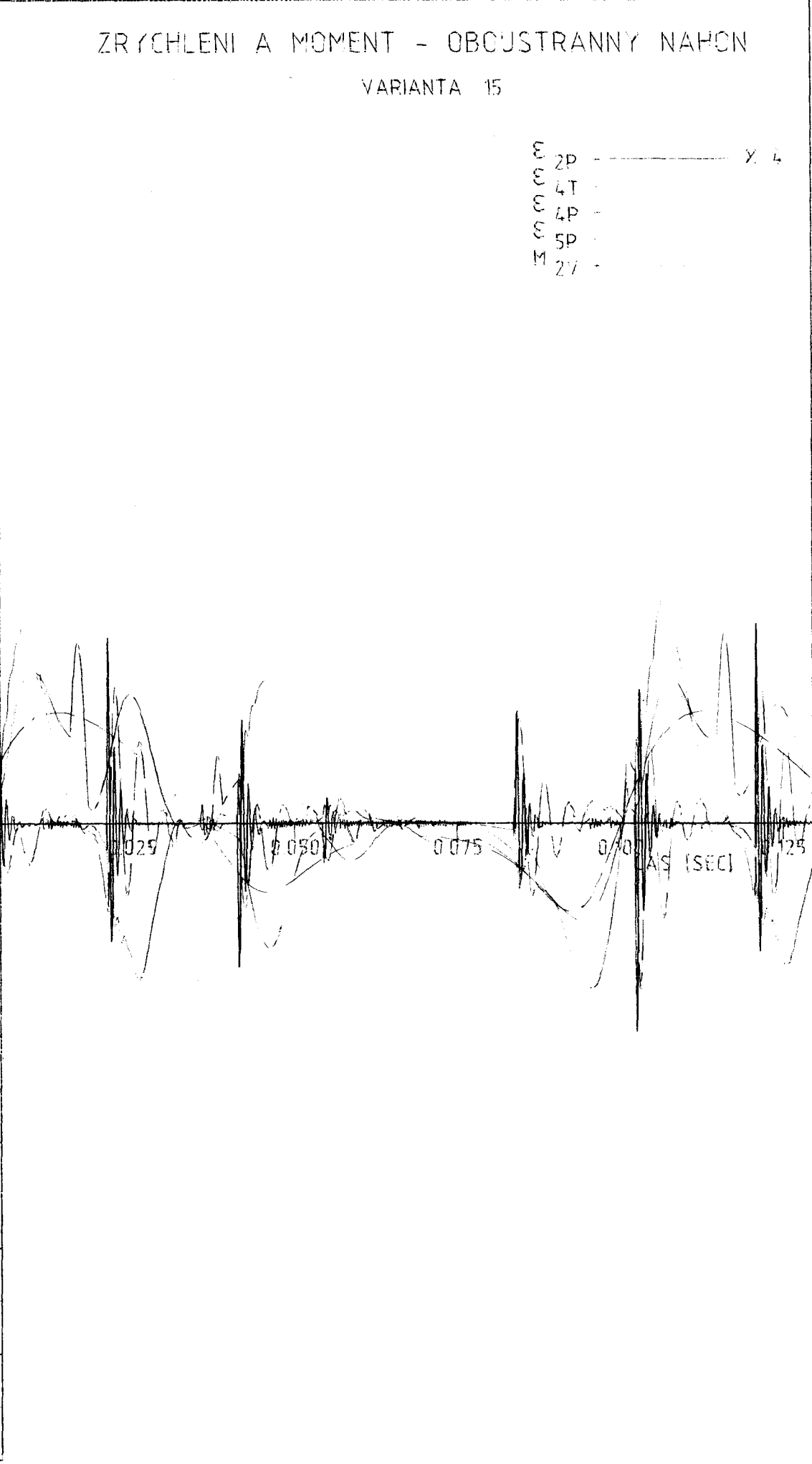
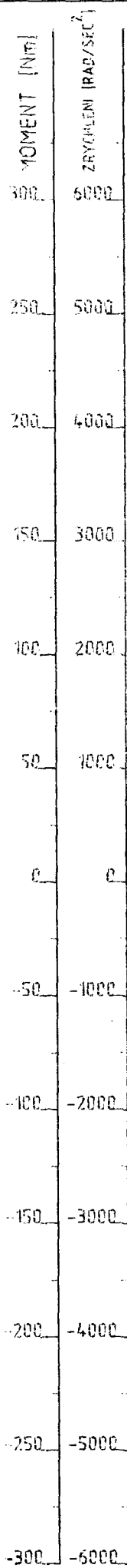
ε 2P - - - - - X 4
ε 4T - - - - -
ε 4P - - - - -
ε 5P - - - - -
M 2V - - - - -



ZRYCHLENÍ A MOMENT - OBOJSTRANNÝ NAHON

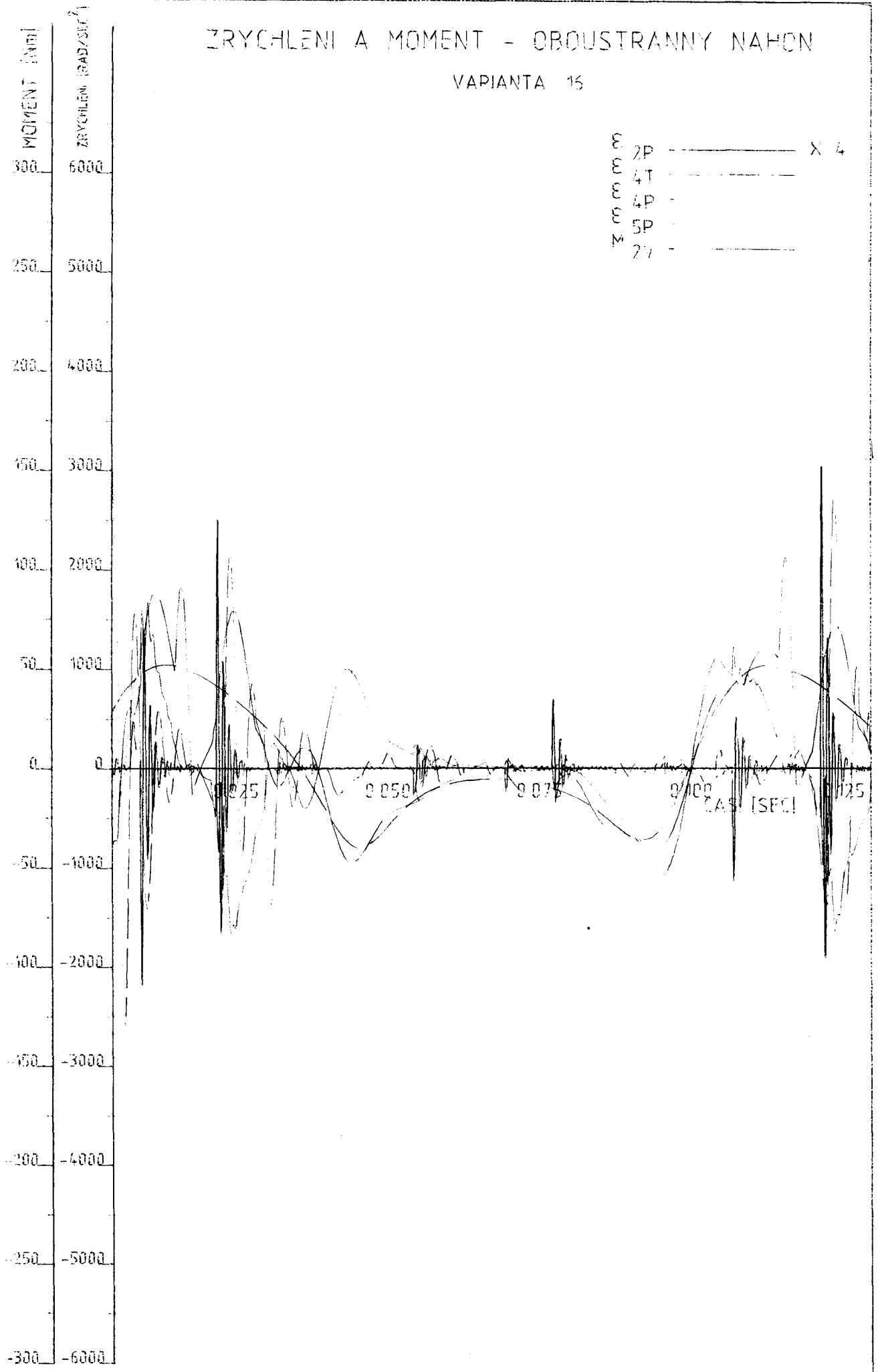
VARIANTA 15

E 2P ----- X 4
E 4T
E 4P
E 5P
M 2/



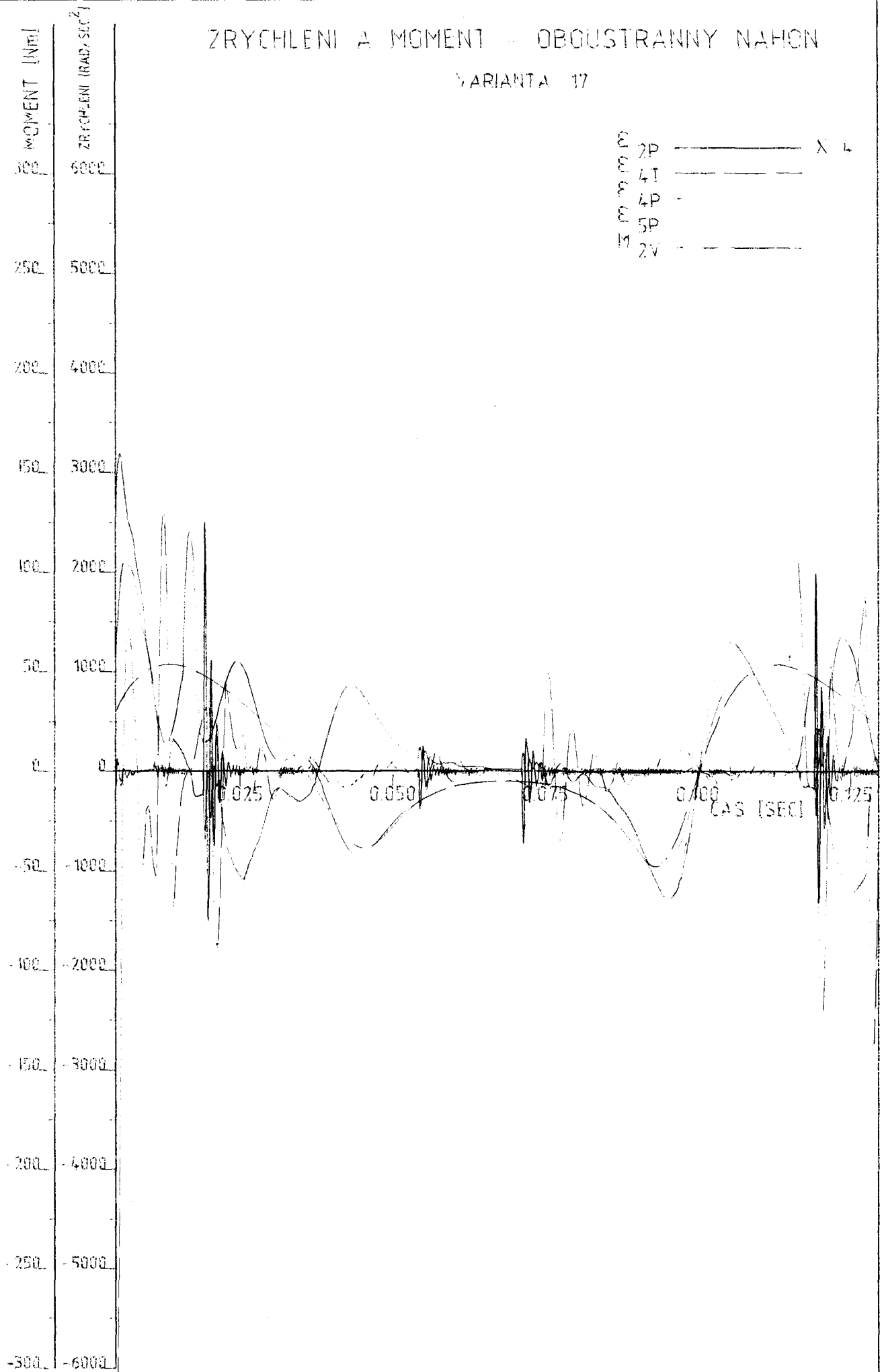
ZRYCHLENÍ A MOMENT - OBOUSTRANNÝ NÁHON

VARIANTA 15



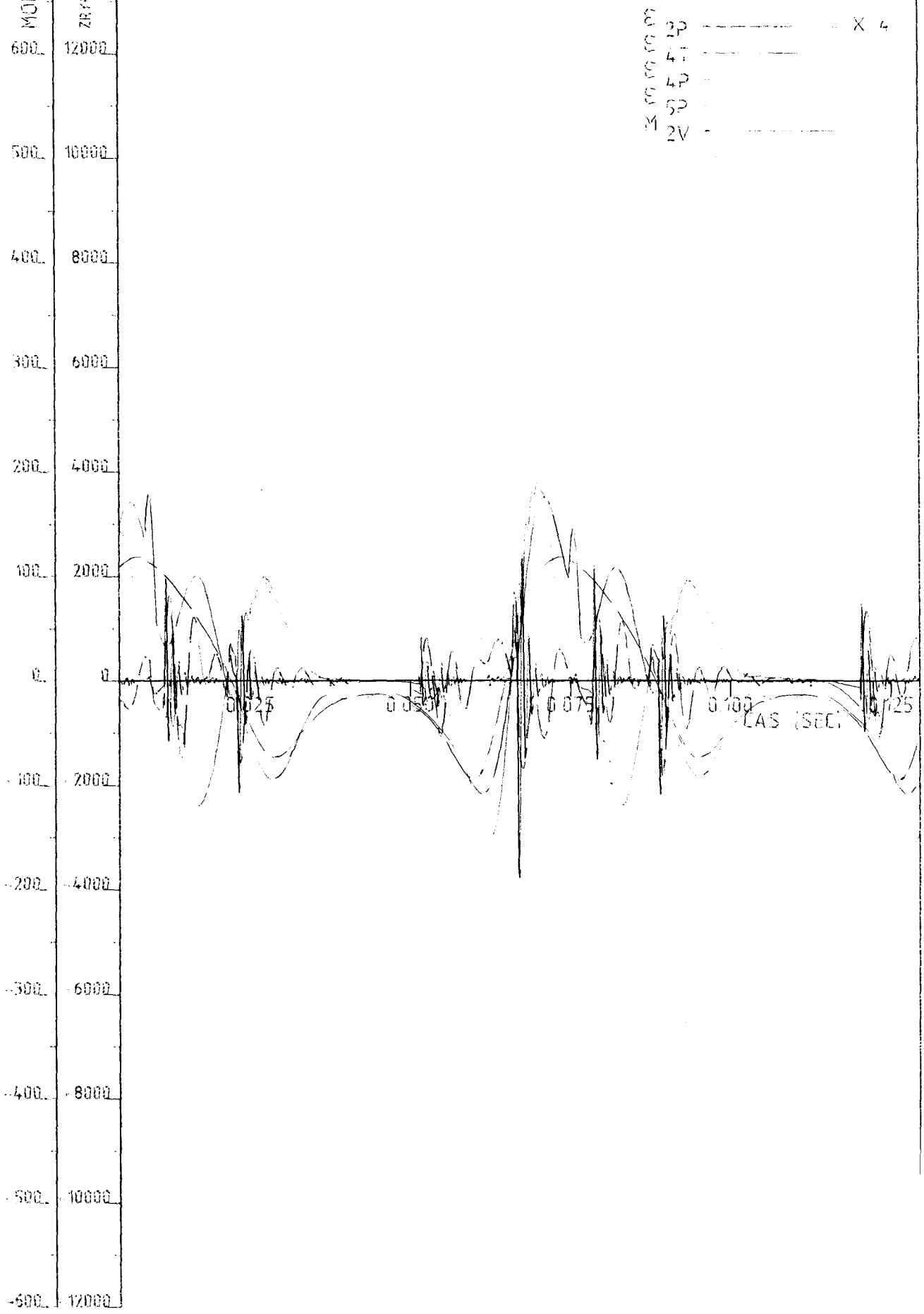
ZRYCHLENÍ A MOMENT - OBOUSTRANNÝ NAHON

VARIANTA 17



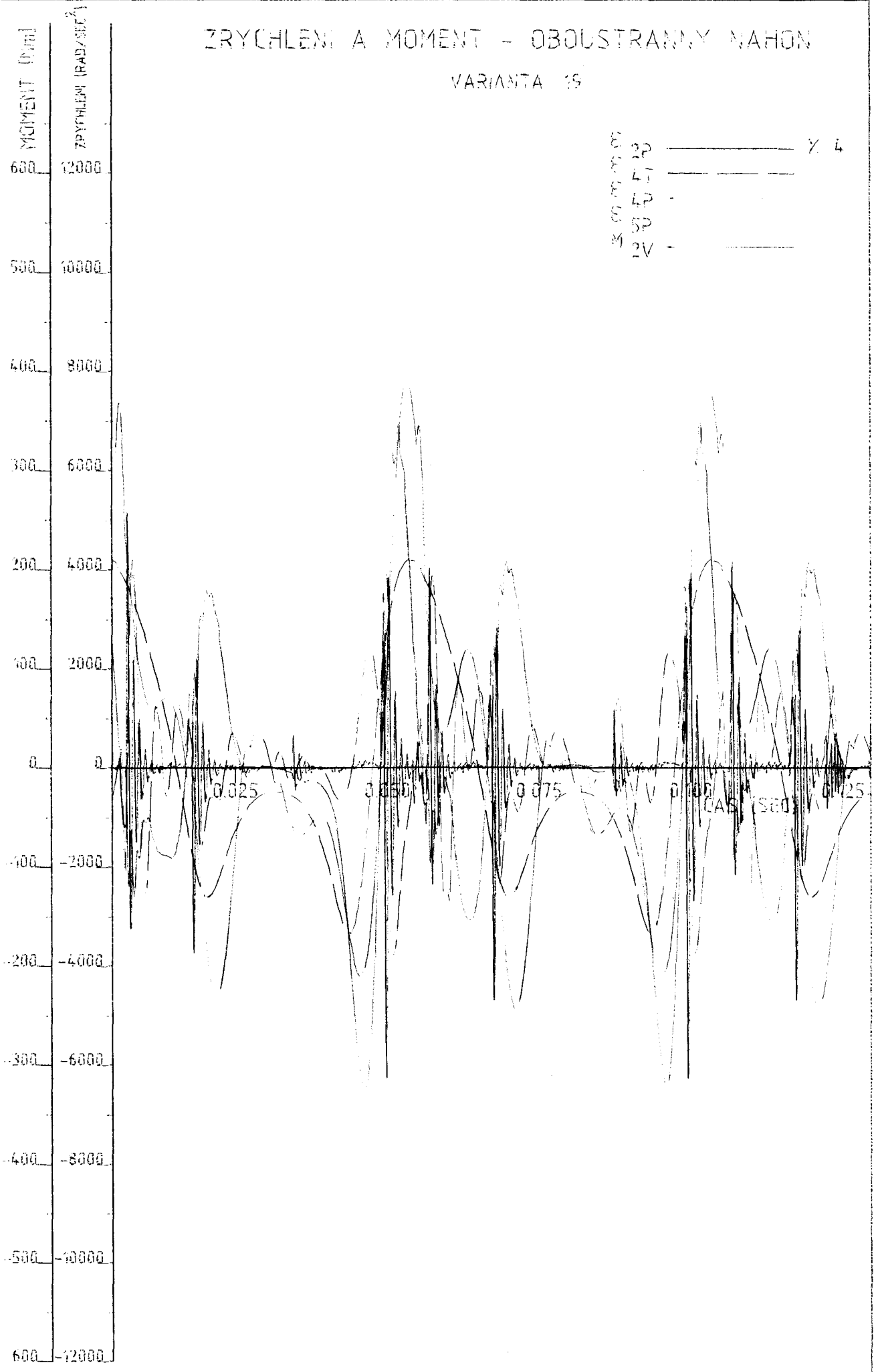
ZRYCHLENÍ A MOMENT - OBOUSTRANNÝ NAHON

VARIANTA 18



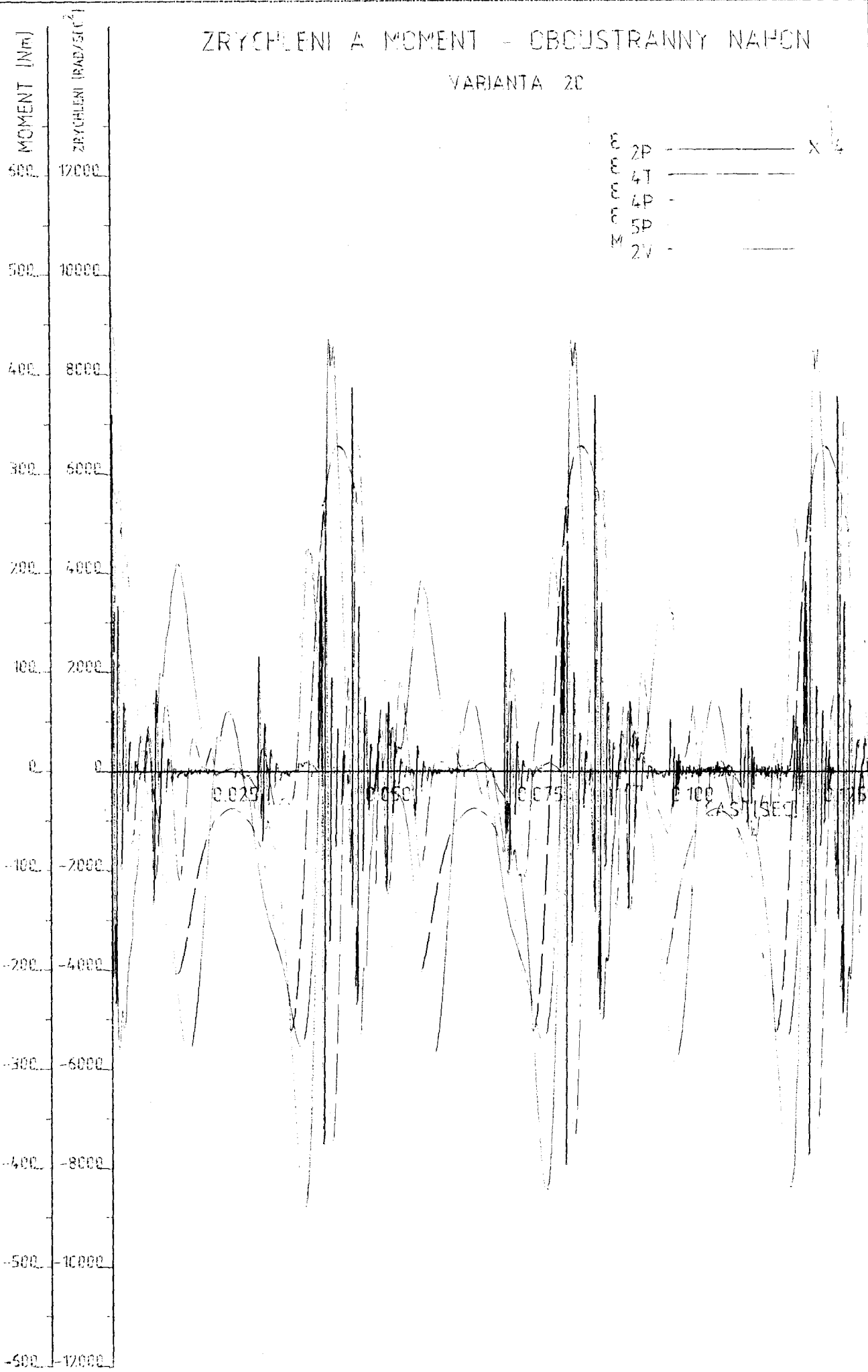
ZRYCHLENÍ A MOMENT - OBOUSTRANNÝ NAHON

VARIANTA 19



ZRYCHLENÍ A MOMENT - OBOUSTRANNÝ NAHON

VARIANTA 20



1	KROUŽEK 45	ČSN022930					21
4	KROUŽEK 15x15	ČSN43551010 11 522		007			22
1	PAPUSK	ČSN413020					23
10	ŠROUB M8x10	ČSN02110110					24
1	PODLOŽKA 13-140	ČSN42551010 11 523		007			25
10	POVEDRO 10-1	ČSN43551010 11 523		007			26
1	LIŠTA	ČSN420055 42 4203		812			27
12	POVEDRO 14-20	ČSN43551010 11 523		007			28
25	PŘÍFUKOVACÍ TRYSKA						29
10	ŠROUB M8x40	ČSN02110110					30
24	ŠROUB M8x20	ČSN02110110					31
10	PODLOŽKA 8	ČSN021741					32
24	PODLOŽKA 8	ČSN021740					33
2	VIKO 40-10	ČSN43551010 11 523		007			34
1	LOŽISKO 6011	ČSN024630					35
3	KROUŽEK 50	ČSN022931					36
6	MEČÍK	ČSN420055 42 4250		812			37
1	PODBIDELNICE 60-1790	ČSN42571510 11 5231		007			38
1	LOŽISKO 6011	ČSN024630					39
1	KROUŽEK 55	ČSN022930					40

Konstrukce

VŠST
LIBEREC

PŘÍRAZOVÝ
MECHANISMUS

KDS-123-02

